

# ***Metódy archeo-geofyzikálneho výskumu – Magnetometria***

Meranie magnetického pola Zeme  
s cieľom detektie archeologických objektov

# **Magnetometria**

## ***Obsah:***

- úvod do teórie magnetického poľa,
- magnetické vlastnosti látok,
- základy magnetometrie,
- prístroje na meranie magnetického poľa,
- spracovanie a interpretácia magnetom. údajov.

# **Magnetometria – historický vývoj (1/3)**

- magnetometria:

zo starogréckeho *magnés lithos* (magnetit)  
+ *metrein* (merať)



- pojem “magnet” pravdepodobne pochádza z diela starého rímskeho autora Plínia (*Natural history*), ktorý popisuje príbeh pastiera Magnesa, ktorý si všimol, že železné špičky na nohách oviec sa “lebia” sa určitý druh horniny (silne obohatenej o magnetit),
- na tento druh interakcie upozorňoval Tháles (624–546 p.K)
- kompas sa používal už v starovekej Číne,
- prvá zmienka o kompase v Európe pochádza zo 4. stor.

# **Magnetometria – historický vývoj (2/3)**

- William Gilbert: prvé úvahy o Zemi ako o slabom magnete,
- Carl Friedrich Gauss: prvy matematický opis ZMP
- Hans Christian Oersted: prvy si všimol vzťah medzi el. a mg. poľom
- André M. Ampére a Michael Faraday: dôležité pokusy a zákony
- mnohí mnohí ďalší...



**William Gilbert**  
**(1540-1603)**



**Carl F. Gauss**  
**(1777-1855)**



**Hans Ch. Oersted**  
**(1777-1851)**



**Andre M. Ampere**  
**(1775-1836)**



**Michael Faraday**  
**(1791-1869)**

## **Magnetometria – historický vývoj (3/3)**

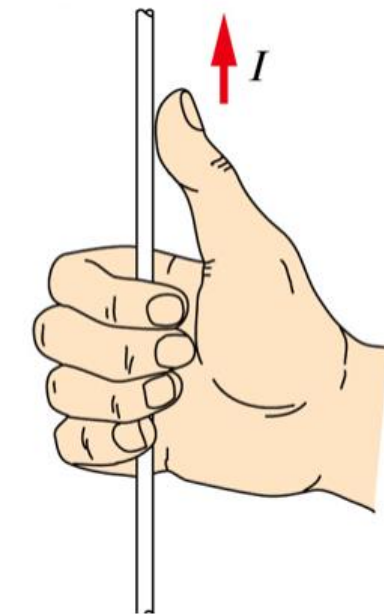
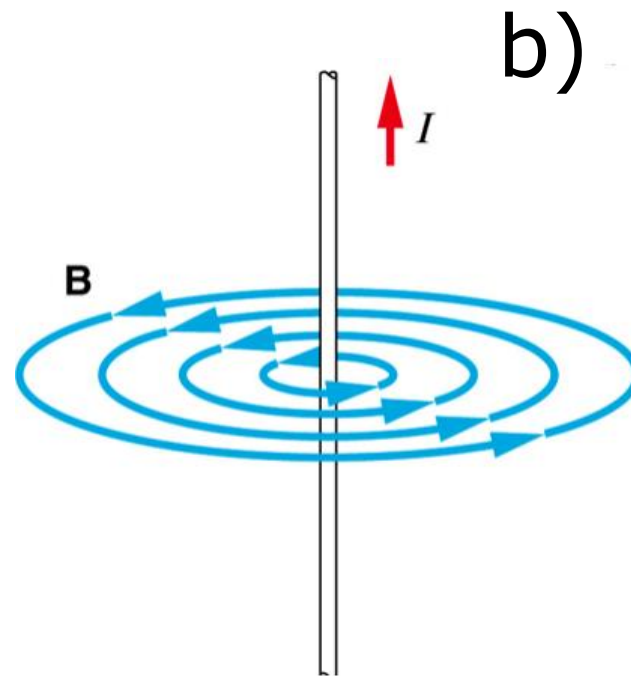
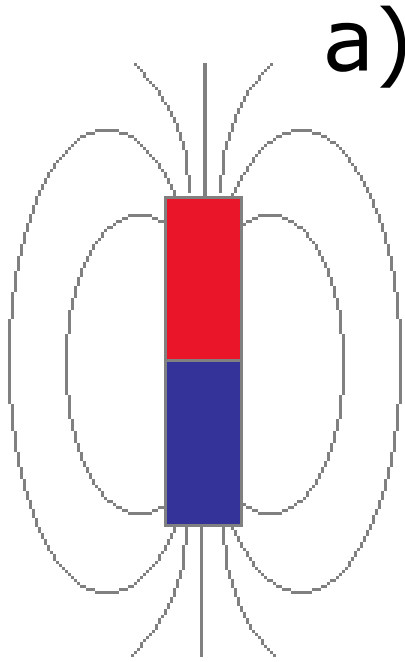
- žiaľ najviac využitia – vo vojenskom prieskume
- viacerí geofyzici od 50.- 60. rokov 20. storočia sa pokúšali o využitie magnetometrov (pôvodne vyvinutých na vojenské účely) v geologickom a archeologickom prieskume
- mená ako Martin Aitken, John Stanley, a mnohí ďalší...



# **Čo je to magnetické pole?**

Magnetické pole vplýva na iné magnety a vzniká v okolí:

- a) premanentných magnetov a
- b) vodičov vedúcich elektrický prúd.



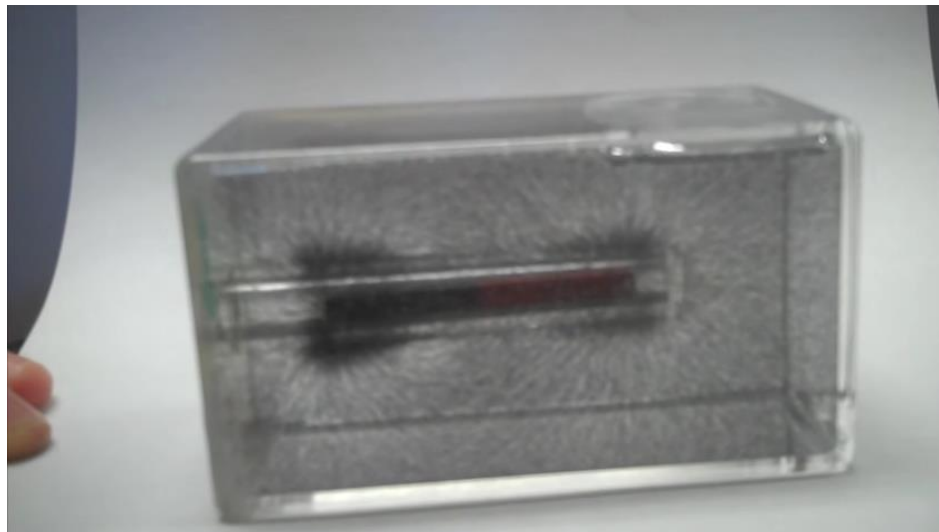
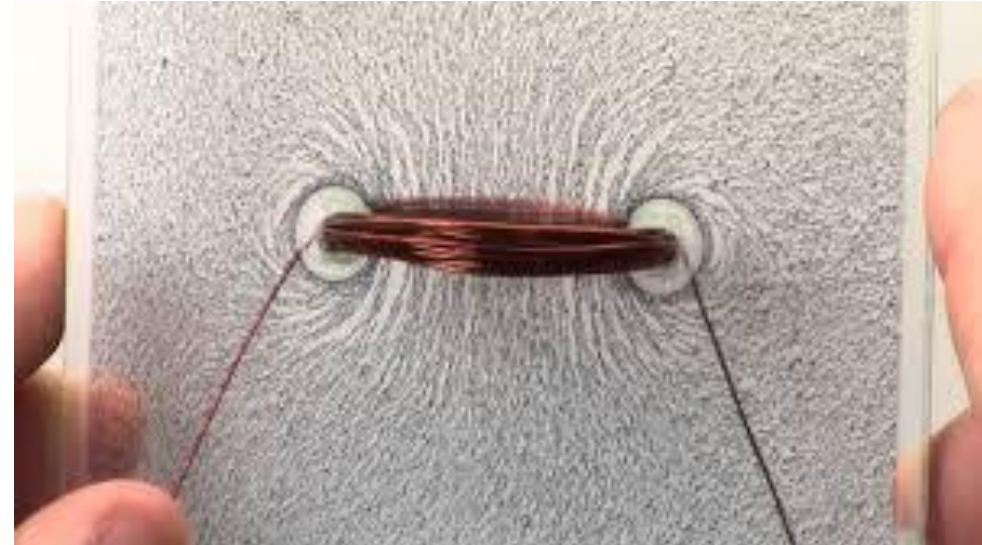
... a pôsobí tzv. magnetickou silou  $F_M$  – obdobnou, ako je aj mechanická sila (dokáže rozpohybovať rôzne telesá).

# pokusy so železnými pilinami

permanentný magnet

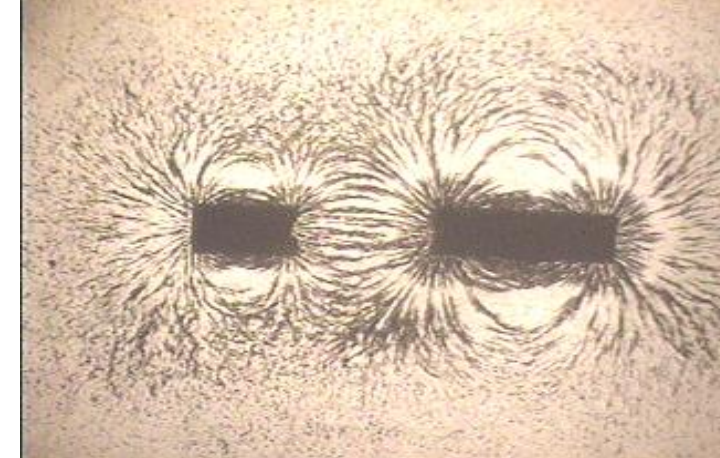
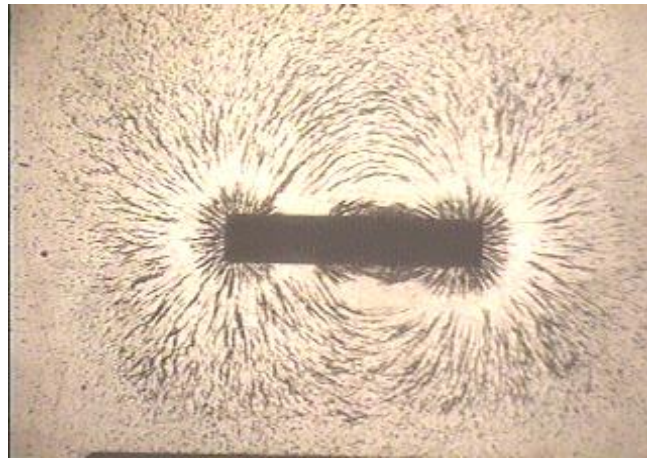
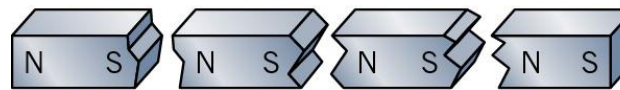
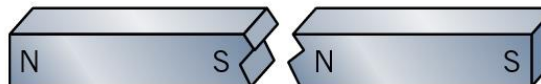


vodič s elektr. prúdom

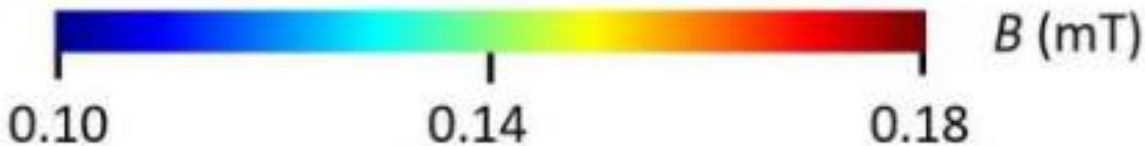
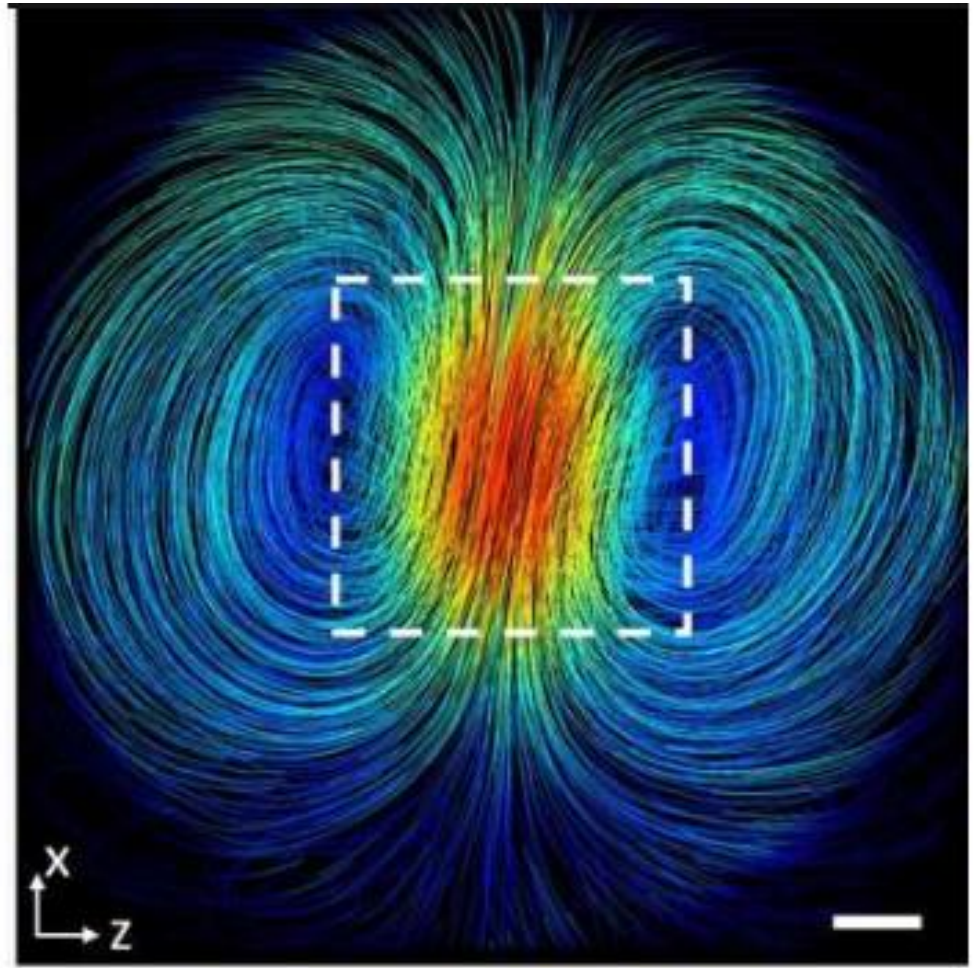


video: <https://www.youtube.com/watch?v=8llkHQtaOlg>

Magnety majú za každých okolností vždy 2 póly:  
kladný a záporný = severný a južný (N a S),  
vravíme, že magnetické pole má tzv. dipólový charakter



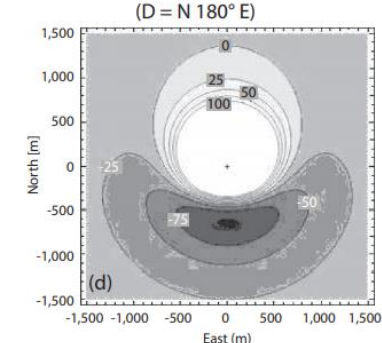
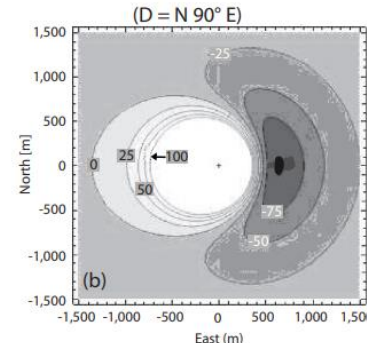
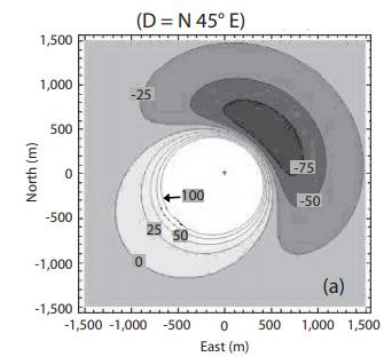
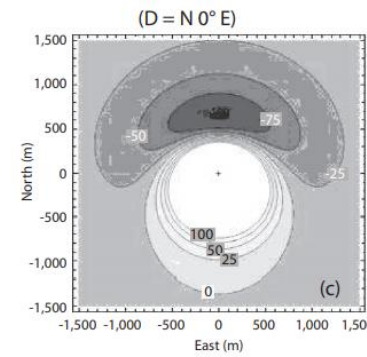
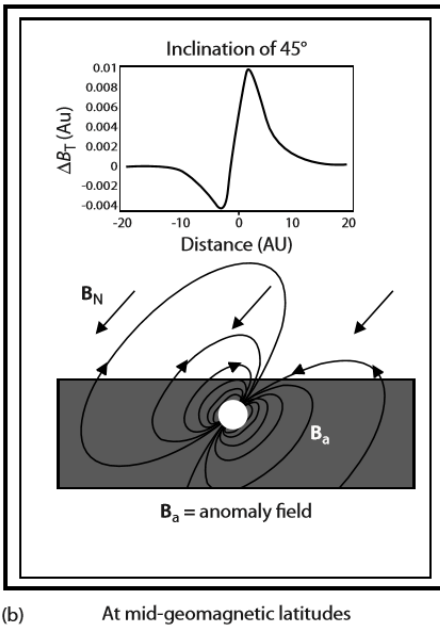
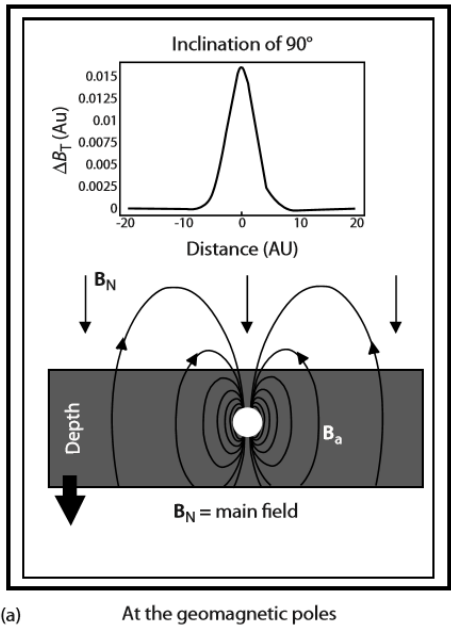
Magnetické pole pôsobí na určitú vzdialenosť (aj cez nemagnetické látky).



dipólový charakter magnetického pola

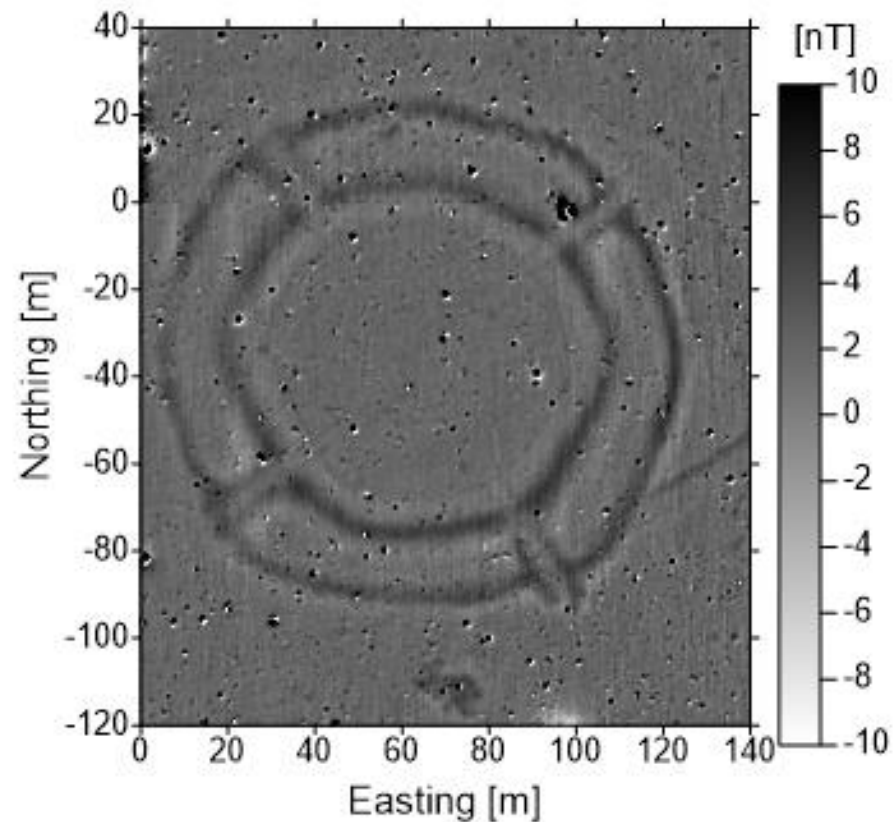
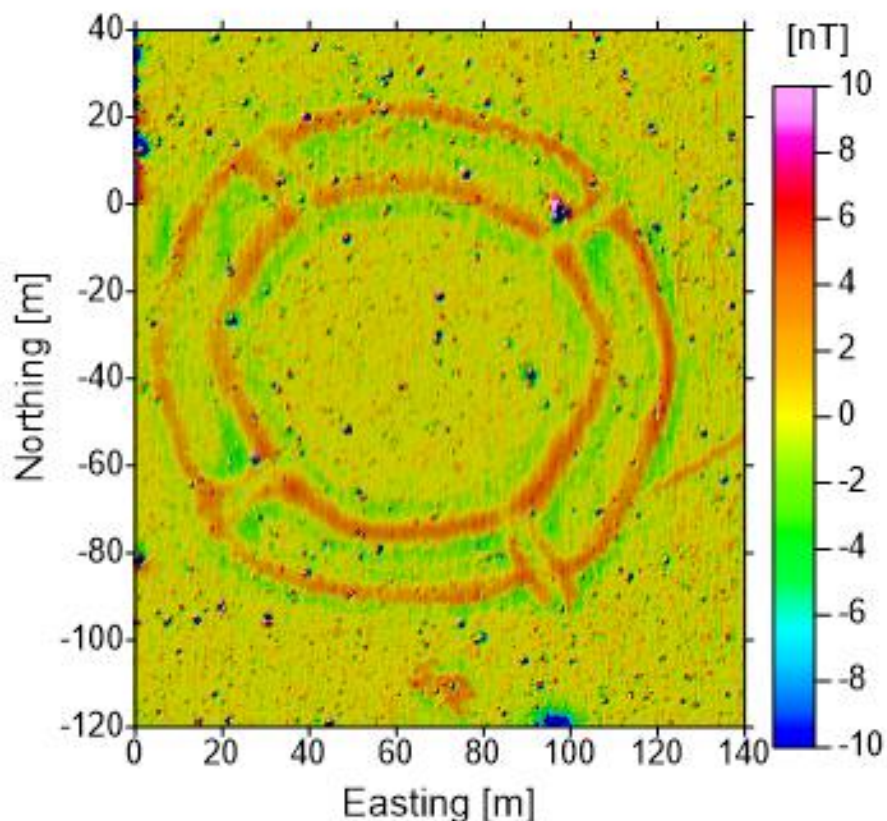
# magnetické pole

Rôzne priebehy magnetického pola na zemskom povrchu



# *magnetické pole*

Rôzne farebné škály pri zobrazení máp anomálneho magnetického poľa na zemskom povrchu



# **magnetické pole**

V okolí permanentných magnetov a elektrických vodičov vzniká magnetické pole. Popisujeme ho 2 veličinami.

**Magnetická intenzita  $\mathbf{H}$**  (vektorová veličina, jednotka,  $[A \cdot m^{-1}]$ ).

Popisuje mieru silových účinkov magnetického poľa.

Nezahŕňa reakciu látky, ale iba účinok „vonkajších“ zdrojov poľa.

**Magnetická indukcia  $\mathbf{B}$**  (vektorová veličina, [T]).

Charakterizuje silové účinky magnetického poľa na látku, pričom v sebe zahŕňa jej reakciu na vonkajšie pole (jej zmagnetizovanie alebo pôsobenie proti nemu).

**V geofyzikálnom prieskume meriame vždy veličinu  $\mathbf{B}$ . Ale označujeme ju ako  $\mathbf{T}$ . :-)**  
Používaná jednotka: [nT].

Alternative names for $B$ and $H$		
	$B$	
	name	used by
	magnetic flux density	electrical engineers
	<u>magnetic induction</u>	electrical engineers
	magnetic field	physicists
	$H$	
	name	used by
	<u>magnetic field intensity</u>	electrical engineers
	magnetic field strength	electrical engineers
	auxiliary magnetic field	physicists
	magnetizing field	physicists

# *magnetické pole*

Ked' sa objekt zmagnetizuje vo vonkajšom magnetickom poli, tak sa stane "novým magnetom". Hovoríme vtedy o tzv. **indukovanej magnetizácii**.

Po zrušení vonkajšieho magnetizujúceho poľa sa táto magnetizácia taktiež zruší. Ak však zostane ("zapamätaná"), ide o tzv. **remanentnú magnetizáciu**.

# ***magnetické vlastnosti látok***

# **reakcie materiálov na magnetické pole**

Rôzne materiály (objekty) reagujú na pôsobiace magnetické pole rôzny, spôsobom – buď sa bránia jeho vplyvu alebo sa ním nechajú zmagnetizovať.

Schopnosť látky zmagnetizovať sa vyjadruje parameter, ktorý nazývame ako **magnetická susceptibilita** ( $\kappa$  - kappa).

V sústave jednotiek SI má magnetická susceptibilita tzv. bezrozmernú jednotku, uvádza sa to ako [jedn. SI] alebo skrátene iba [SI].

Hodnoty magnetickej susceptibility dosahujú pre bežné materiály veľmi veľké rozpätia - **od 0.000001 po 20 [SI]**.

# *reakcie materiálov na magnetické pole*

Podľa tejto vlastnosti delíme látky na:

**diamagnetické**, zoslabujú magn. pole (napr. voda, organické látky, ale aj niektoré kovy: Cu, Ag, Au, Hg, Bi,)

**paramagnetické**, zosilňujú magn. pole (napr. Al, Mn, Cr, Pt)

**feromagnetické**, výrazne zosilňujú magn. pole  
(4 kovy: Fe, Ni, Co, Gd).

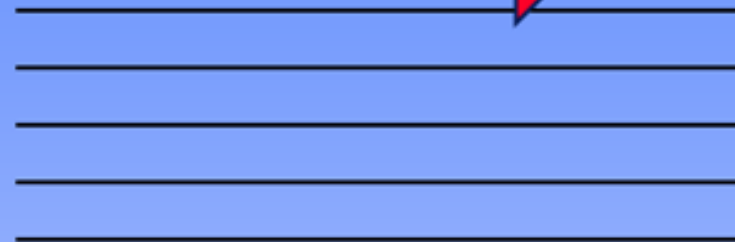
Diamagnetické látky sú z magnetického poľa vypudzované, paramagnetické a feromagnetické sú naopak do magnetického poľa vťahované (pohyb smerom do miesta s najvyššou intenzitou poľa).

Feromagnetické látky sú schopné si magnetizáciu „zapamätať“ – zostáva im aj po „vypnutí“ vonkajšieho indukujúceho poľa.

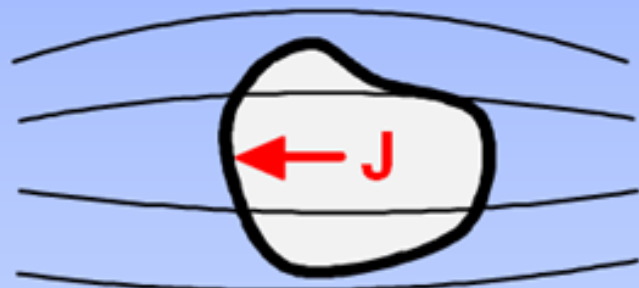
Takáto zapamätaná magnetizácia sa nazýva ako tzv. remanentná magnetizácia.

# *reakcie materiálov na magnetické pole*

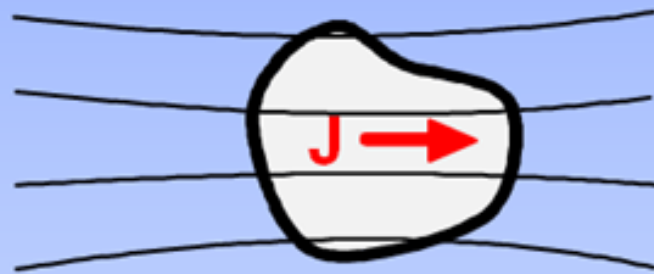
Magnetic field ( $B_o$ )



Diamagnetic



Para/Ferromagnetic



# ***reakcie materiálov na magnetické pole***

$\kappa < 0$  – diamagnetické látky (minerály),

hodnoty:  $-10^{-6}$  až  $-10^{-5}$  [SI], napr.: kremeň,  
vápenec, živce, grafit, sádrovec, halit, galenit

$\kappa > 0$  – paramagnetické látky (minerály),

hodnoty:  $10^{-5}$  až  $10^{-3}$  [SI], napr. pyroxén, olivín,  
amfibol, biotit, pyrit, siderit, muskovit,..

$\kappa \gg 0$  – feromagnetické látky (minerály),

hodnoty:  $10^{-2}$  až  $10^{+2}$  [SI], napr. **magnetit**,  
titanomagnetit, maghemit, ulvöspinel,  
hematit, ilmenit, göthit, ...

Feromagnetické minerály sa nachádzajú v rudách, horninách,  
ale aj v pôde, dokonca sú výrazne koncentrované v humuse.

## *reakcie materiálov na magnetické pole*

Paramagnetické materiály vytvárajú tzv. indukovanú magnetizáciu ( $\mathbf{M}_i$ ) .

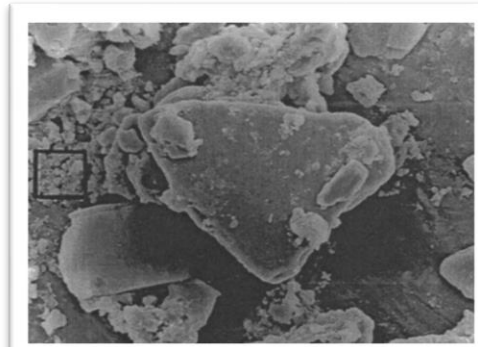
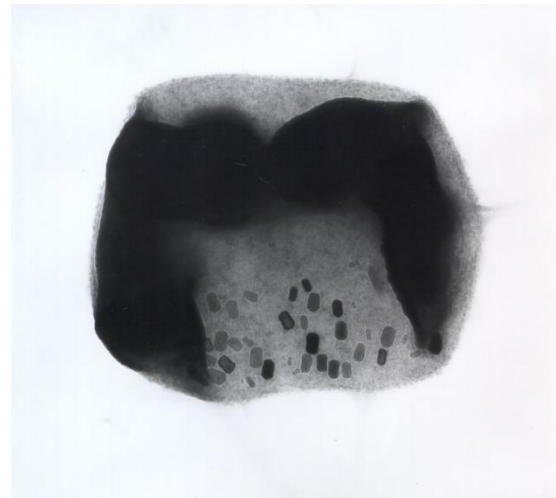
Feromagnetické materiály tzv. remanentnú magnetizáciu ( $\mathbf{M}_r$ ) – “zapamätanú” alebo “vpálenú”.

Pomer  $\mathbf{M}_i$  a  $\mathbf{M}_r$  sa nazýva tzv. Königsbergerov koeficient ( $Q = M_r/M_i$ ).

Pri niektorých materiáloch môže odsiahnuť až desiatky (dokonca aj stovky).

# *magnetické minerály v pôde*

Niektoré druhy baktérií (ktoré rozkladajú zelenú rastlinnú hmotu) Produkujú feromagnetické minerály (magnetit, maghemit), ktoré sa potom koncentrujú v humuse.



snímky z elektrónového mikroskopu

# *magnetické minerály v pôde (v humuse)*

Niektoré druhy baktérií (ktoré rozkladajú zelenú rastlinnú hmotu) produkujú feromagnetické minerály (magnetit, maghemit), ktoré sa potom koncentrujú v humuse.



stratigrafický rez vo výkope

# ***magnetické minerály v pôde (v humuse)***

Niektoré druhy baktérií (ktoré rozkladajú zelenú rastlinnú hmotu) produkujú feromagnetické minerály (magnetit, maghemit), ktoré sa potom koncentrujú v humuse.



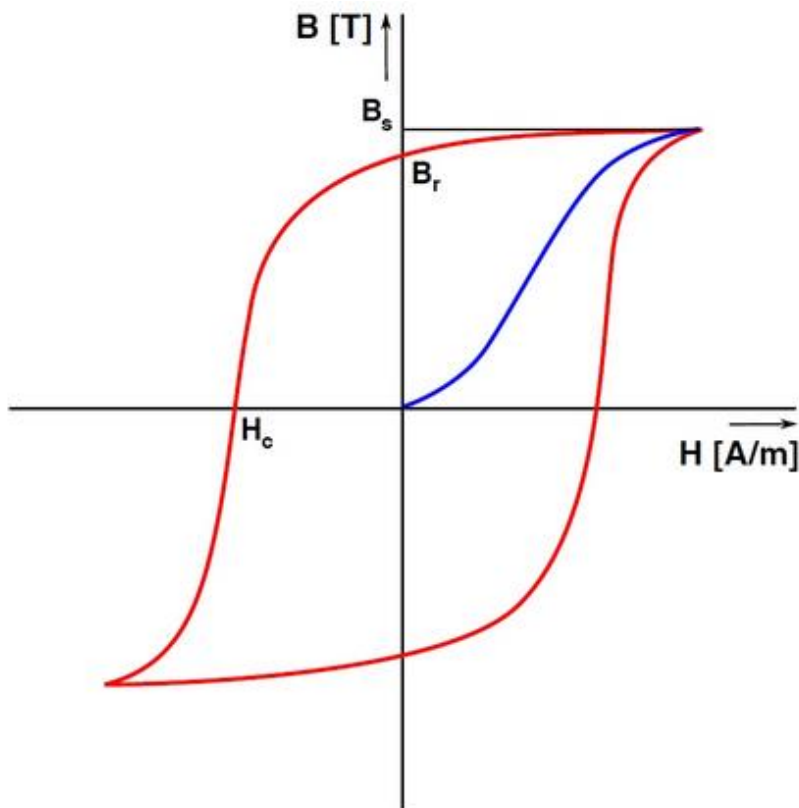
odkrytie výplne priekopy vo výkope

# *reakcie materiálov na magnetické pole*

Paramagnetickým látkam nezostáva po „vypnutí“ vonkajšieho magnetického poľa jednotný magnetický moment.

V prípade feromagnetických je to rozdielne – zostávajú zmagnetizované. Hovoríme o tzv. **remanentnej magnetizácii**.

Tento jav opisuje **magnetická hysterézia** (slučka, krivka):



$B_s$  – stav nasýtenia  
(max. hodnota  $B$ ),

$B_r$  – remanentná  
magnetizácia,

$H_c$  – koercitívna  
intenzita,

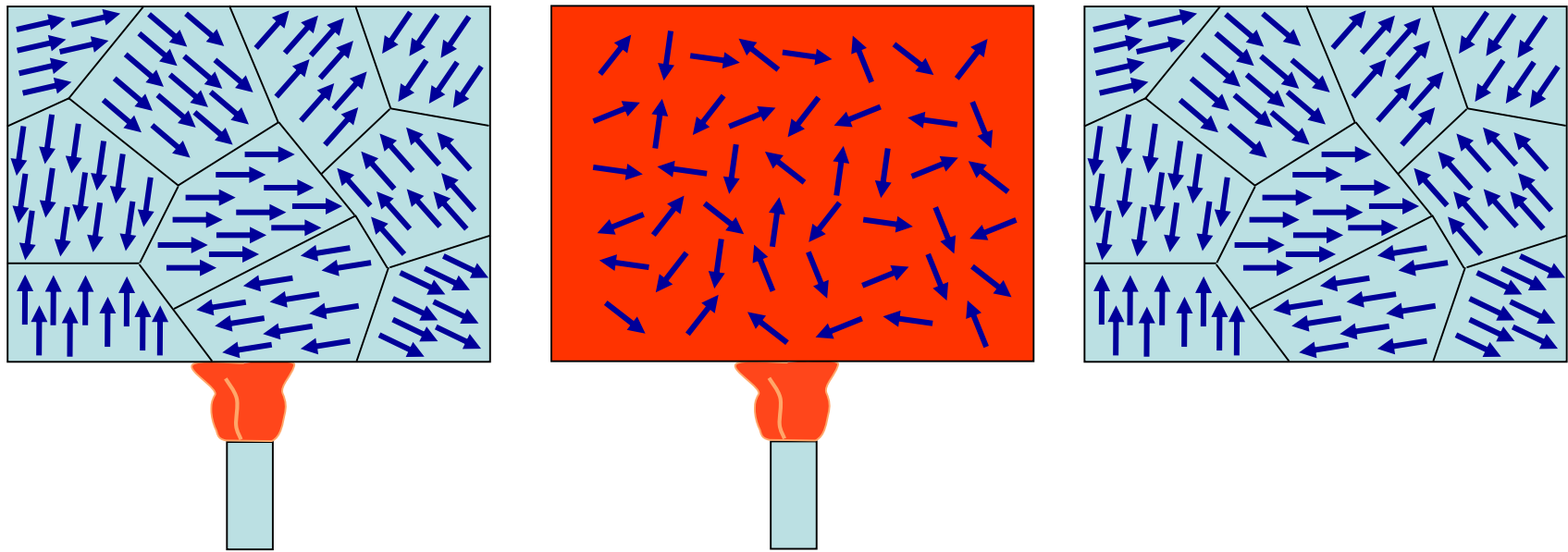
Podľa veľkosti  $H_c$   
delíme

feromagnetické látky  
na magneticky mäkké  
(malá  $H_c$ ) a tvrdé  
(veľká  $H_c$ )

# feromagnetické látky

Pri zohriatí feromagnetickej látky na určitú teplotu (**Curieho teplota** – napr. pre železo asi  $770^{\circ}\text{C}$ ) sa látka zmení na paramagnetickú. Keď teplota poklesne, látka sa znova stane feromagnetickou a obnoví sa doménové usporiadanie.

jednoduchý pokus: [http://sirius.ucsc.edu/demoweb/images/e\\_m/curie-iron.gif](http://sirius.ucsc.edu/demoweb/images/e_m/curie-iron.gif)



Pozn.: Uvedená vlastnosť sa prejavuje aj pri vzniku magnetizácie pôd v miestach s pôsobením ohňa (ohniská, pece).

# *magnetické minerály v pôde (pôsobenie ohňa)*

Niektoré druhy minerálov zvýraznia svoje koncentrácie a orientáciu v miestach, kde pôsobí oheň (ohniská, pece,...).



meranie s tzv. kappametrom v ohnisku

# Curieho teplota:

Material	Curie temperature (K)
Iron (Fe)	1043
Cobalt (Co)	1400
Nickel (Ni)	627
Gadolinium (Gd)	292
Dysprosium (Dy)	88
Mn Bi	630
MnSb	587
CrO <sub>2</sub>	386
MnAs	318
EuO	69
Iron(III) oxide (Fe <sub>2</sub> O <sub>3</sub> )	948
Iron(II,III) oxide (FeOFe <sub>2</sub> O <sub>3</sub> )	858

kovy (materiály)

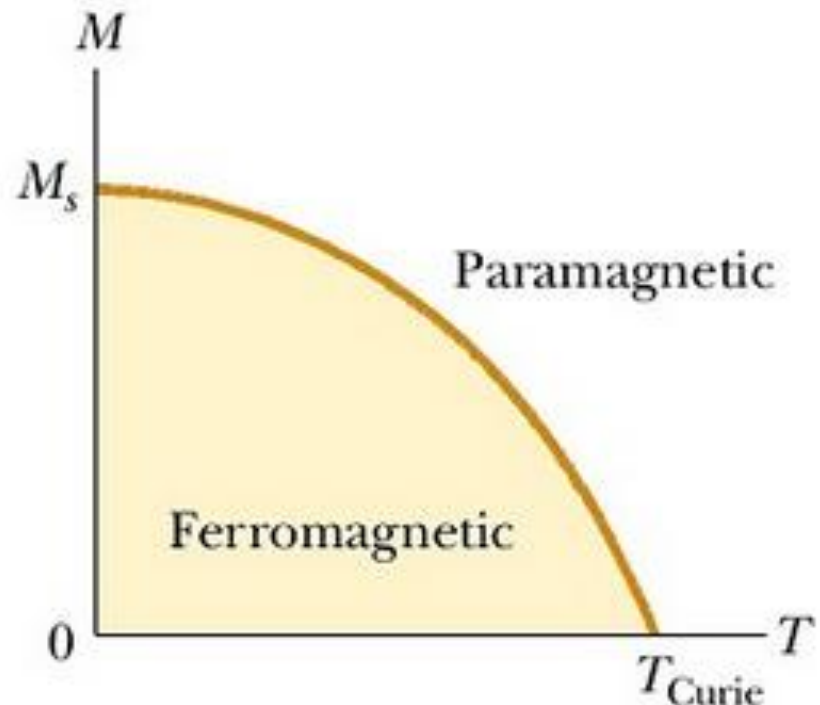
Mineral	Composition	Magnetic Order	T <sub>c</sub> (°C)	$\sigma_s$ (Am <sup>2</sup> /kg)
<b>Oxides</b>				
Magnetite	Fe <sub>3</sub> O <sub>4</sub>	ferrimagnetic	575-585	90-92
Ulvöspinel	Fe <sub>2</sub> TiO <sub>4</sub>	AFM	-153	
Hematite	$\alpha$ Fe <sub>2</sub> O <sub>3</sub>	canted AFM	675	0.4
Ilmenite	FeTiO <sub>4</sub>	AFM	-233	
Maghemite	$\gamma$ Fe <sub>2</sub> O <sub>3</sub>	ferrimagnetic	~600	~80
Jacobsite	MnFe <sub>2</sub> O <sub>4</sub>	ferrimagnetic	300	77
Trevorite	NiFe <sub>2</sub> O <sub>4</sub>	ferrimagnetic	585	51
Magnesioferrite	MgFe <sub>2</sub> O <sub>4</sub>	ferrimagnetic	440	21
<b>Sulfides</b>				
Pyrrhotite	Fe <sub>7</sub> S <sub>8</sub>	ferrimagnetic	320	~20
Greigite	Fe <sub>3</sub> S <sub>4</sub>	ferrimagnetic	~333	~25
Troilite	FeS	AFM	305	
<b>Oxyhydroxides</b>				
Goethite	$\alpha$ FeOOH	AFM, weak FM	~120	<1
Lepidocrocite	$\gamma$ FeOOH	AFM(?)	-196	
Feroxyhyte	$\delta$ FeOOH	ferrimagnetic	~180	<10

magnetické minerály  
(magnetit: 580 °C)

## Curieho teplota:

Material	Curie temperature (K)
Iron (Fe)	1043
Cobalt (Co)	1400
Nickel (Ni)	627
Gadolinium (Gd)	292
Dysprosium (Dy)	88
Mn Bi	630
MnSb	587
CrO <sub>2</sub>	386
MnAs	318
EuO	69
Iron(III) oxide (Fe <sub>2</sub> O <sub>3</sub> )	948
Iron(II,III) oxide (FeOFe <sub>2</sub> O <sub>3</sub> )	858

kovy (materiály)



čiže feromagnetické materiály sa pri zvýšení teploty nad úroveň Curieho t. stávajú paramagnetickými

# **Magnetometria 1**

## ***Obsah:***

- úvod do teórie magnetického pol'a,
- magnetické vlastnosti materiálov,
- základy magnetometrie,
- prístroje na meranie magnetického pol'a,
- spracovanie a interpretácia magnetom. údajov.

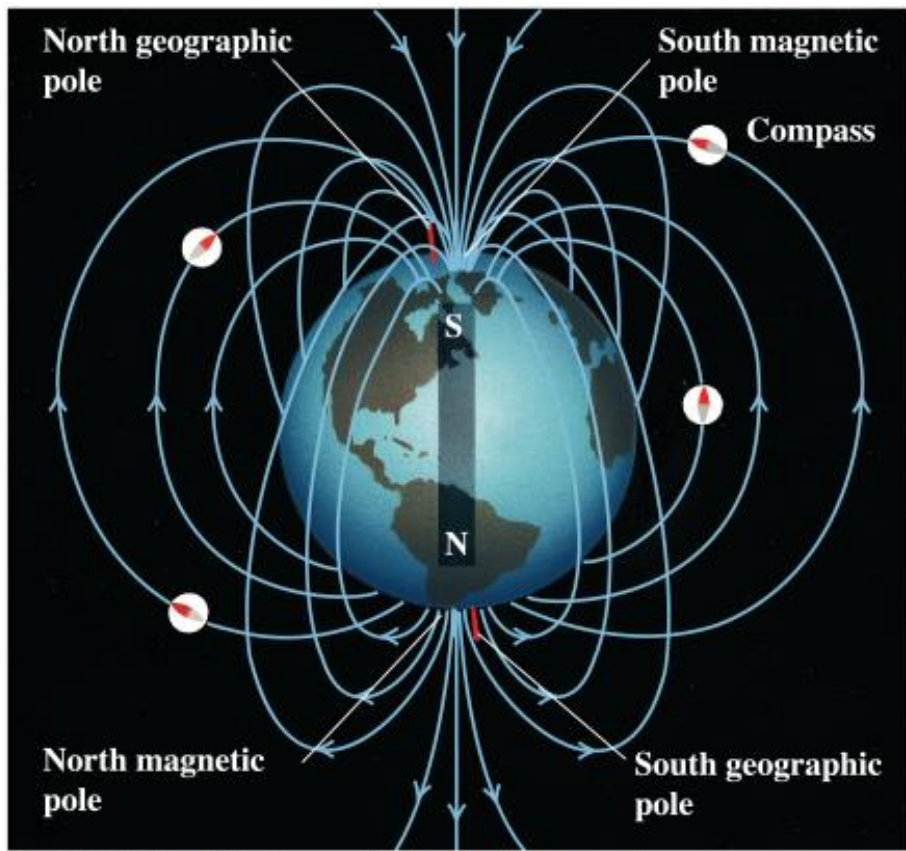
# **Základy magnetometrie**

## **Úvodné poznámky:**

- ❖ Patria medzi najstaršie geofyzikálne metódy
- ❖ Magnetické pole slúžilo najprv na navigáciu
- ❖ Prvým magnetickým prístrojom bol kompas (využívaný Číňanmi už od r.2637 pred n.l.)
- ❖ Spolu s geoelektrickými metódami sa najviac používa v archeológii
- ❖ Pravidelné merania ZMP prebiehajú už od r.1540

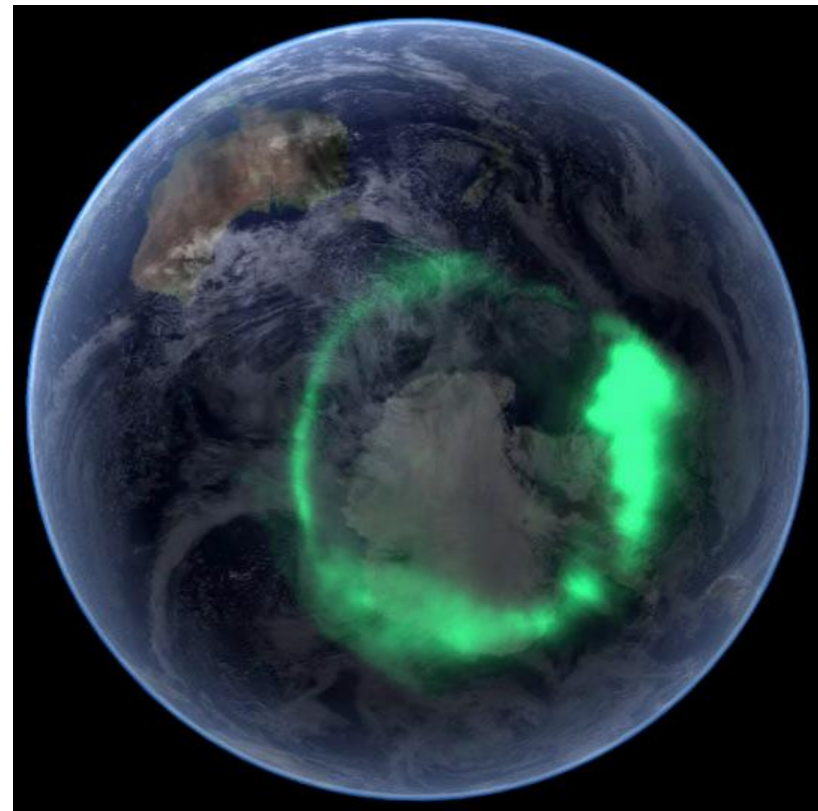
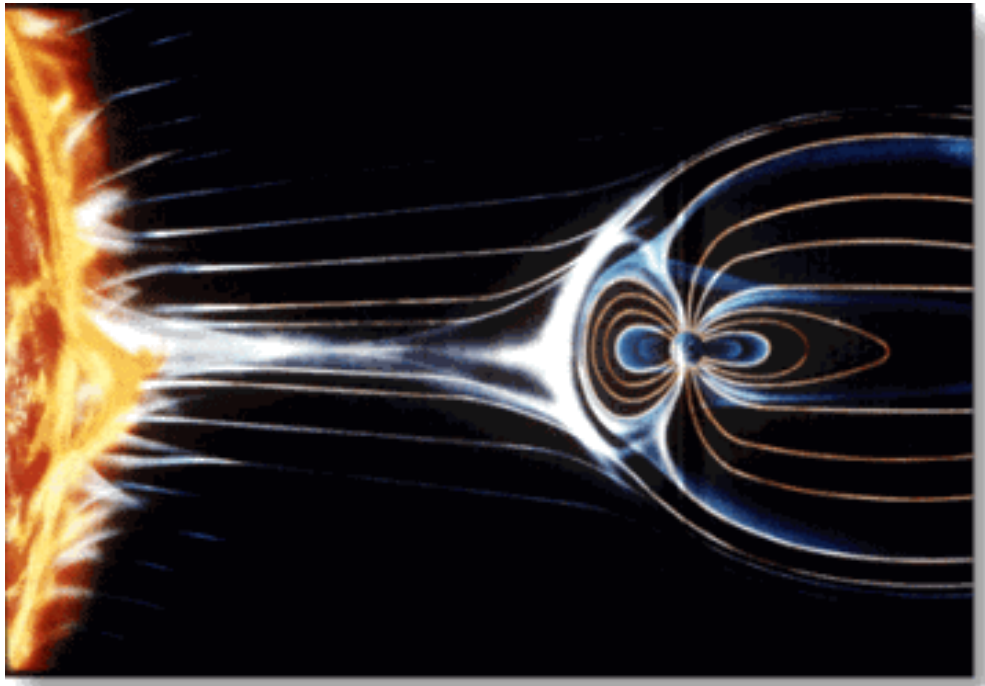
# Zemské magnetické pole (ZMP)

Základom jeho generovania je pohyb vodivých hmôt (elektricky nabitych častíc) vo vonkajšom jadre – tzv. hydromagneto-dynamické javy.



# Zemské magnetické pole (ZMP)

Z celoplanetárneho hľadiska sa zvykne hovoriť o magnetosfére – ktorá tvorí ochranný „štít“ Zeme pred tzv. slnečným vetrom (prúd vysoko energetických častíc, ktoré sú emitované z povrchu Slnka).



# ZMP – časové zmeny

## Príčina je vo vnútri Zeme:

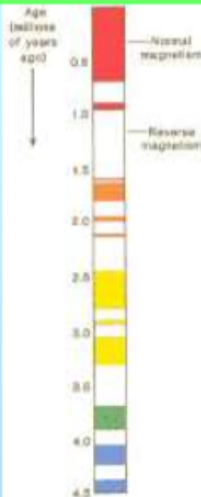
### Inverzia polarity

(per. stáť sice rokov, hlbinné procesy)

### Sekulárne variácie.

(per. ~ 500r, hlbinné procesy, až stovky nT)

## Inverzia ZMP

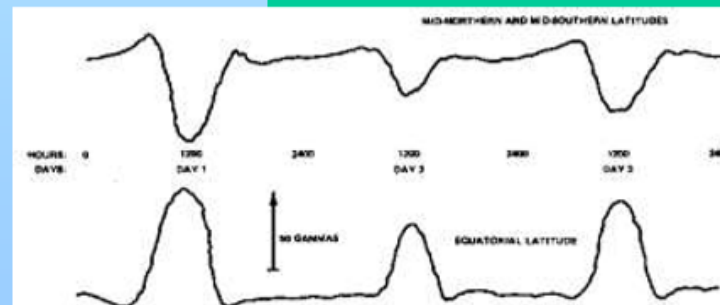


## Príčina je mimo Zeme:

### Denné v.

(per. 1 deň, slnečná aktivita, desiatky nT)

## Denné variácie

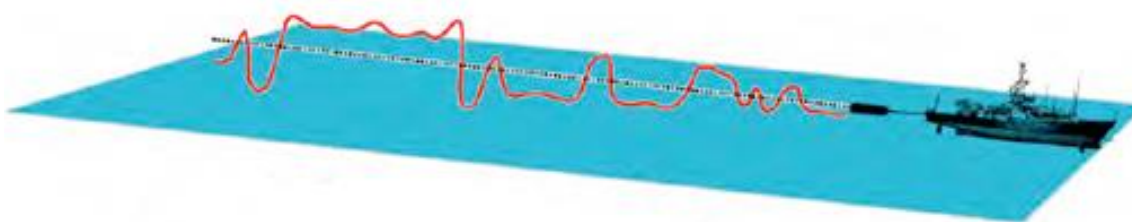


### Magnetické búrky

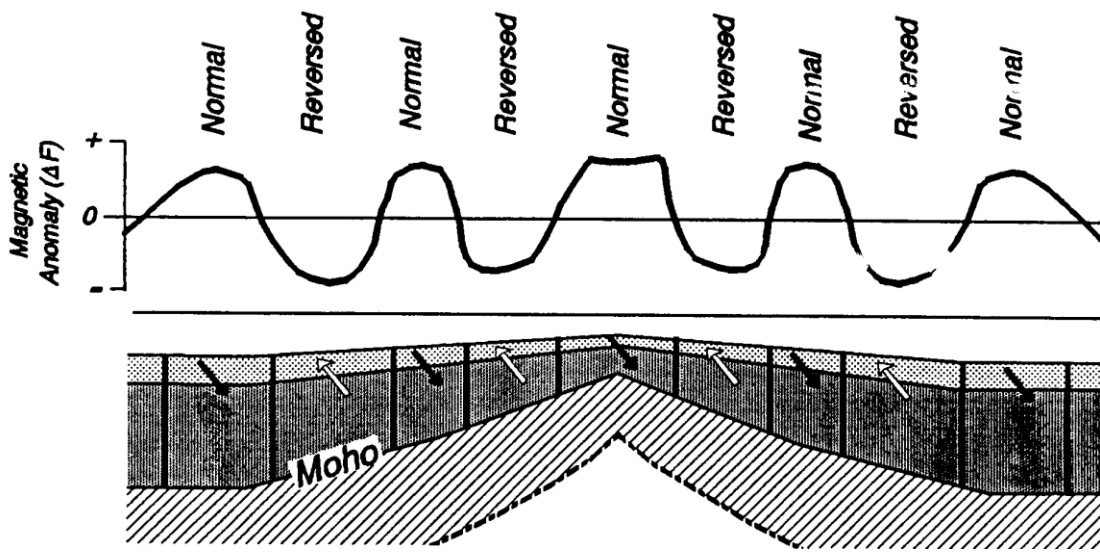
(neperiodické, slnečné erupcie,  
až tisícky nT)

# ZMP – časové zmeny

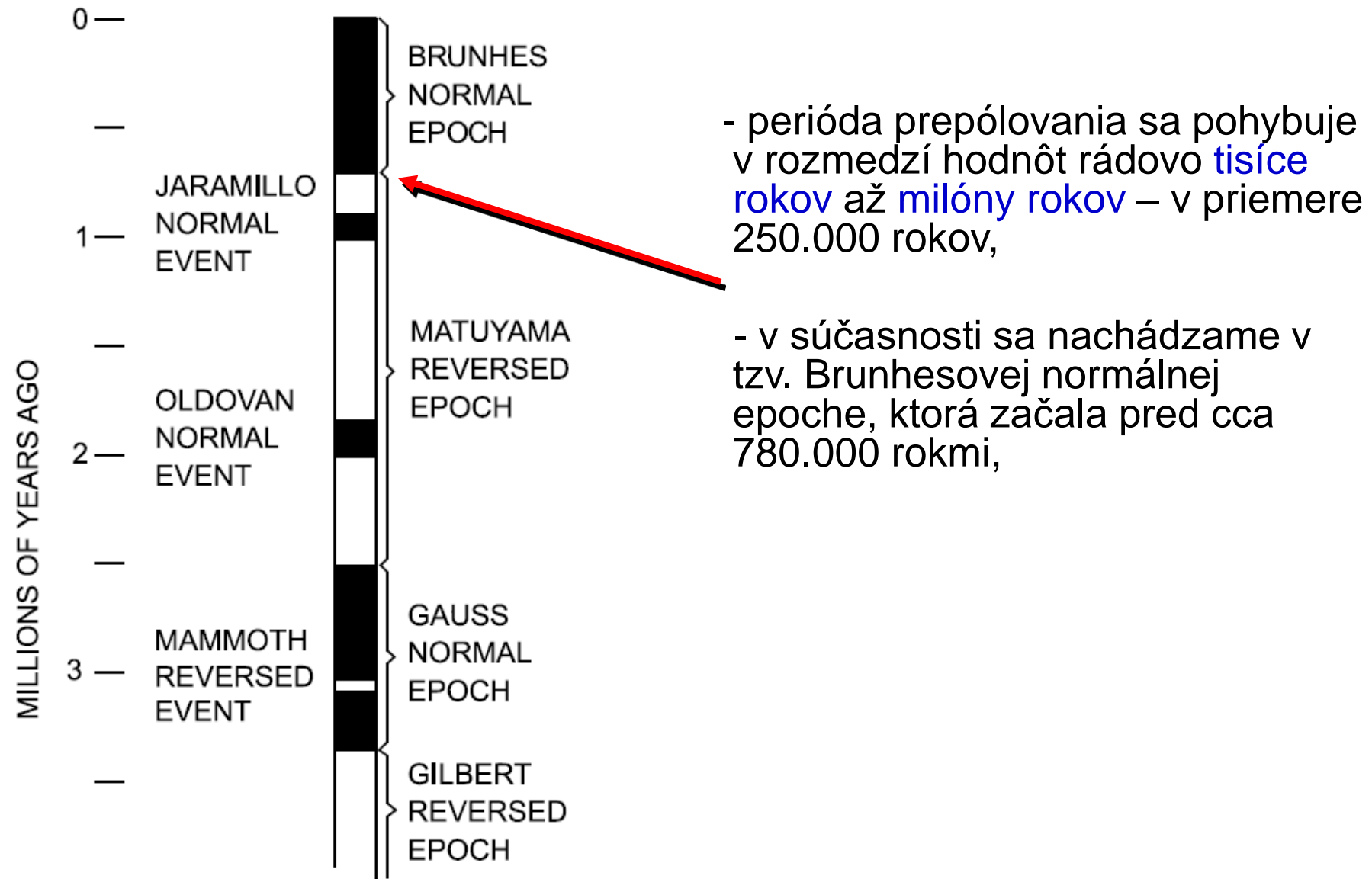
V priebehu historických dôb došlo ku niekoľkonásobnému prepólovaniu magnetických pólov – ku tzv. [inverzii](#).



merania v priestore Atlantického oceánu  
(Rald and Mason, 1961)

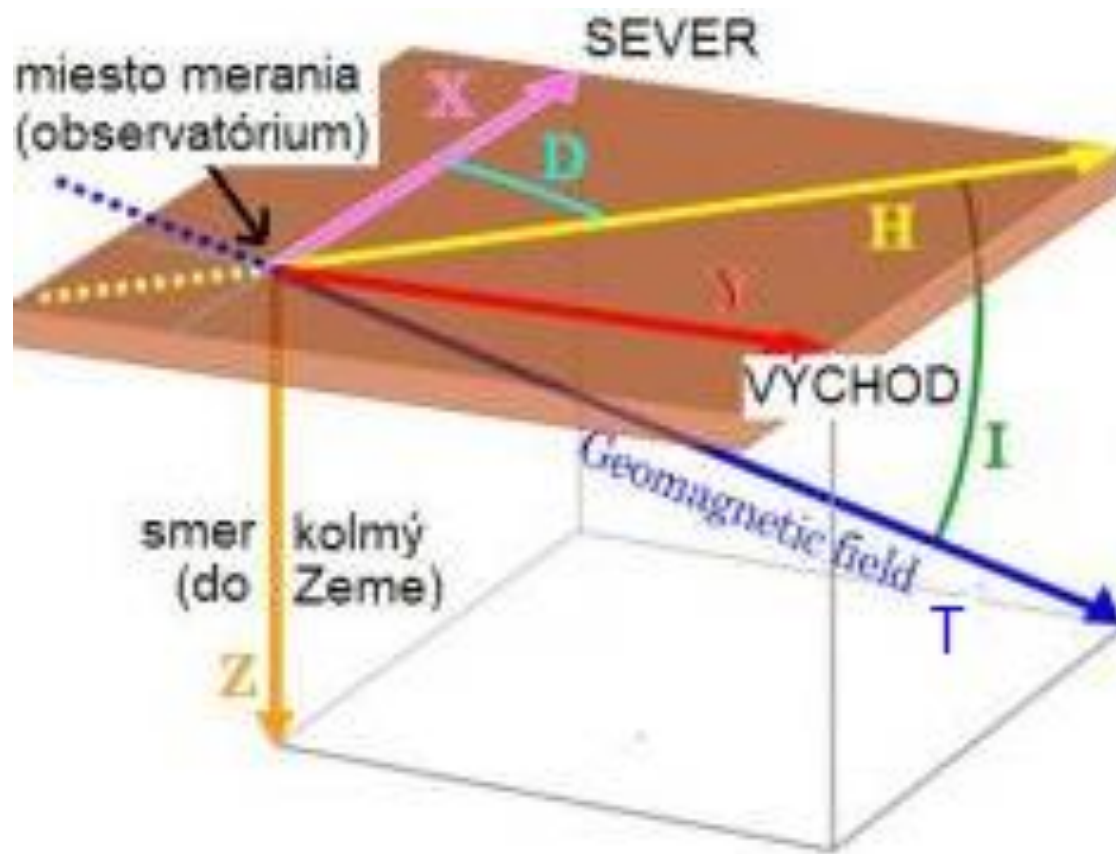


# Zemské magnetické pole (ZMP)

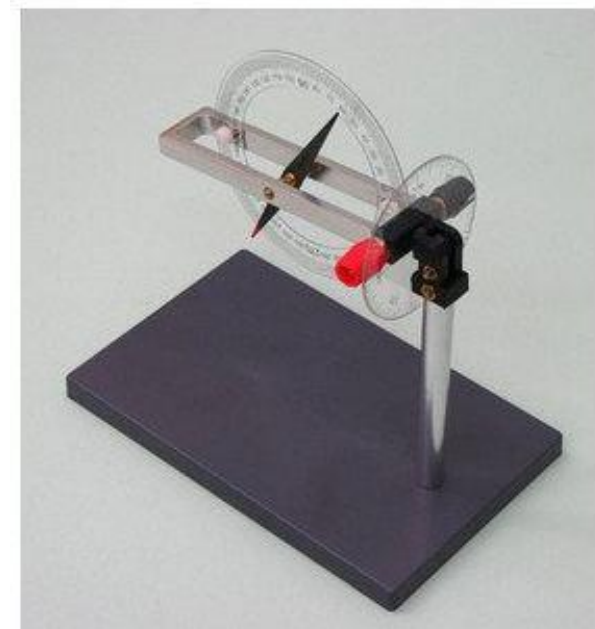


# Zemské magnetické pole (ZMP)

GEOGRAF.



MAGN.  
SEVER



Hlavné parametre (veličiny) ZMP:

$T$  – totálny vektor magneticej indukcie

$H$ ,  $X$ ,  $Y$ ,  $Z$  – sú jeho zložky

$I$  – inklinácia,  $D$  – deklinácia (dôležité uhly)

# magnetometria – prístroje

sú založené na rôznych fyzikálnych princípoch:

- kappa-metre: meranie magnetickej susceptibility,
- magnetometre: veľkosť totálneho vektora magn. indukcie
- gradientometre: rozdiely vo veľkosti tot. vekt. mag. indukcie

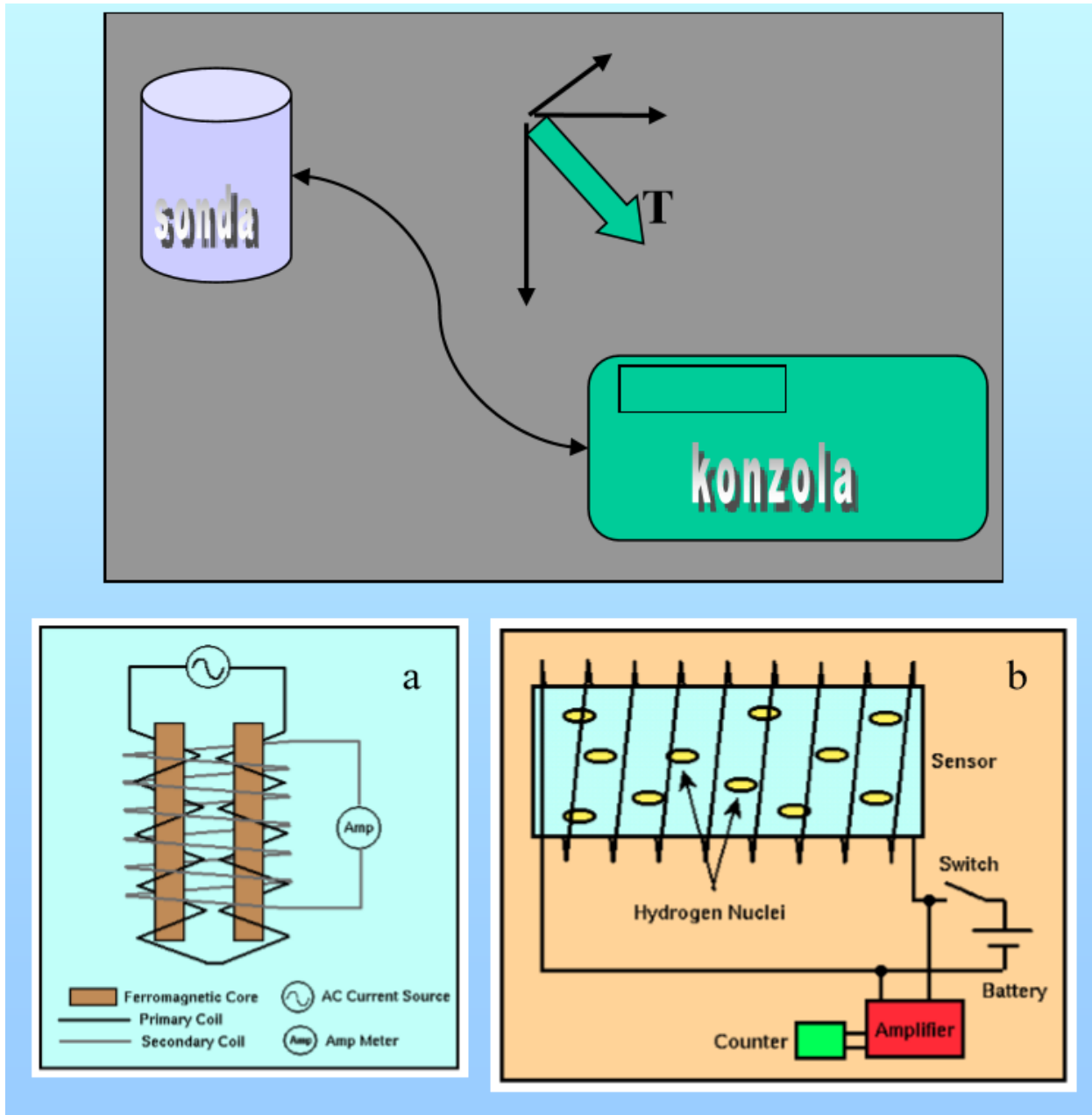


# magnetometre a gradientometre

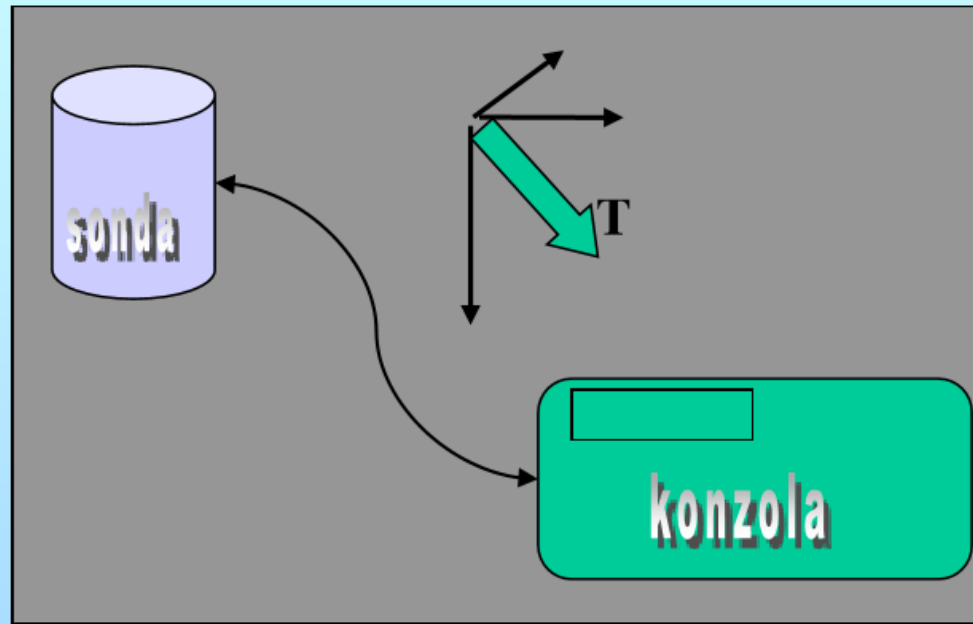
Existujú rôzne rozdelenia:

- skalárne (merajú veľkosť  $\mathbf{T}$ ), vektorové (trojzložkové),
- meranie na jednej úrovni (magnetometre)  
alebo rozdielu  $\mathbf{T}$  na dvoch úrovniciach (gradientometre),
- spôsob merania – tzv. “stop and go” alebo “walking mode”  
(v archeogeofyzike sa používa najmä “walking mode”)
- samostatná kategória sú letecké magnetometre (aj drony),
- rôzne fyzikálne princípy (magnetické váhy, flux-gate, protónový, céziový, SQUID).

# fyzikálny princíp – reakcia súčasťí senzora na vonkajšie magnetické pole



fyzikálny princíp – reakcia súčasťí senzora na vonkajšie magnetické pole



# magnetometre a gradientometre

## Protónový magnetometer:

Merací čas sú rádovo sekundy,  
príp. zlomky sekundy  
(patrí medzi pomalšie prístroje).

Vnútorná presnosť je na úrovni  
0.1 nT, vonkajšia niekoľko nT.  
Využíva sa najmä pri geologických  
aplikáciách.



# magnetometre a gradientometre

## Magnetometer s ferosondou (flux-gate):



Často používané v archeológii v tzv. gradientovom prevedení (pole je merané v 2 úrovniach) a v multi-senzorovom usporiadaní.



Presnejšie a najmä rýchlejšie ako protónové magnetometre.

# magnetometre a gradientometre

## "Céziový" magnetometer: (Cs-vapour magnetometer)

Merací čas sú rádovo desatiny až tisíciny sekundy  
(patrí medzi najrýchlejšie prístroje, ale aj najdrahšie).

Vnútorná presnosť je na úrovni  $0.01 \text{ nT}$ , vonkajšia  $\pm 1 \text{ nT}$ .  
Pozor – má tzv. mŕtvy uhol pri meraní (kedy nemeria správne).  
Využíva sa najmä pri UXO, geol. a archeol. aplikáciách.



Niekedy sa používajú aj v gradientových usporiadaniach.

# magnetometre a gradientometre

## Magnetometer SQUID:

(Superconducting Quantum Interference Device)

Je to vysoko presný magnetometer, využívajúci jemné magnetické polia okolo supravodičov, využívajúc tzv. Josephsonov jav.

Vyžaduje chladenie tekutým dusíkom.

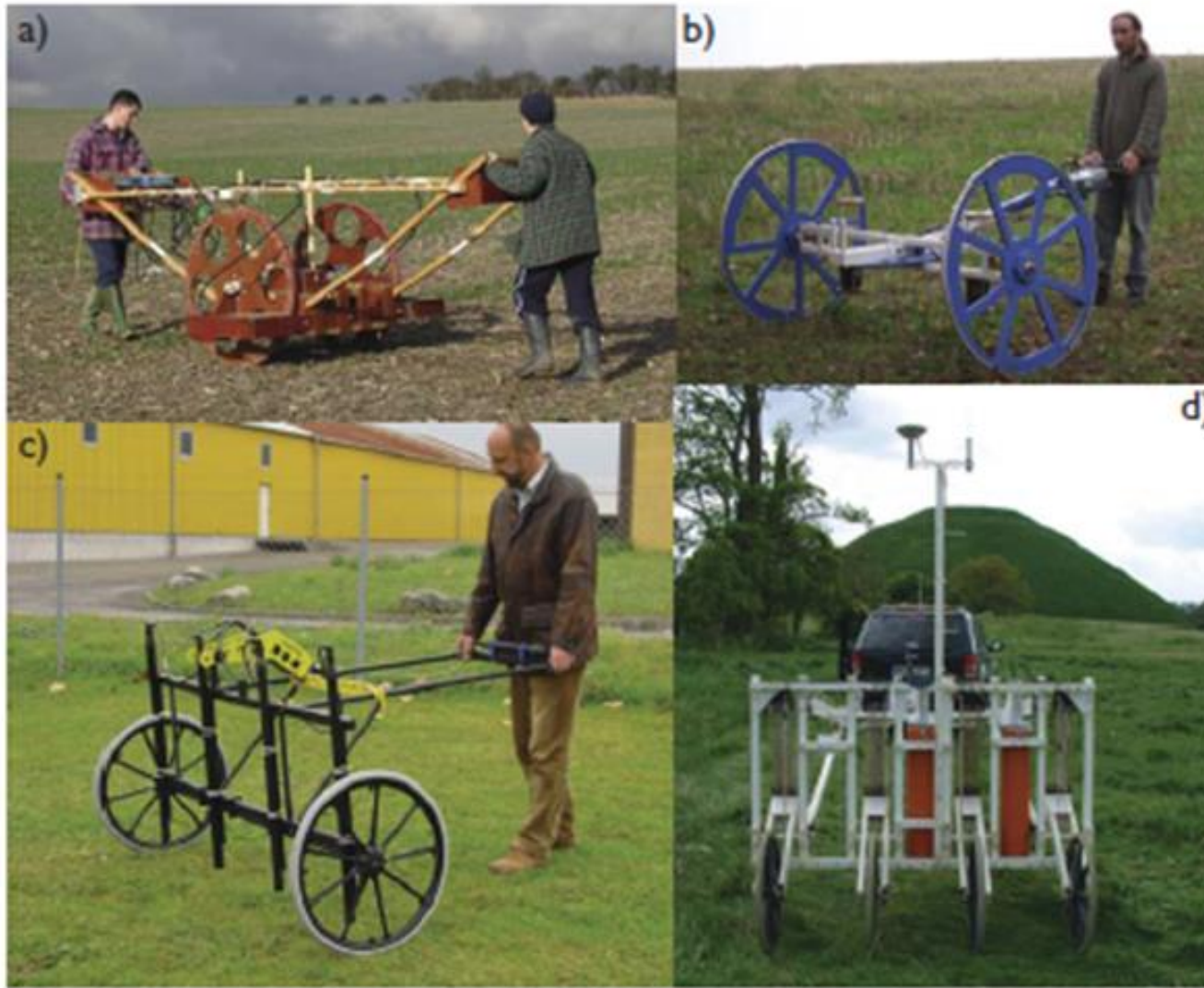
Väčšinou labortórne prístroje, existujú už však aj terénné verzie. Presnosti už pod 0.001 nT.



# rôzne systémy magnetometrov a gradientometrov (ručne nesené)



# rôzne systémy magnetometrov a gradientometrov (ručne tlačené)



# rôzne systémy magnetometrov a gradientometrov (t'ahané za vozidlom)



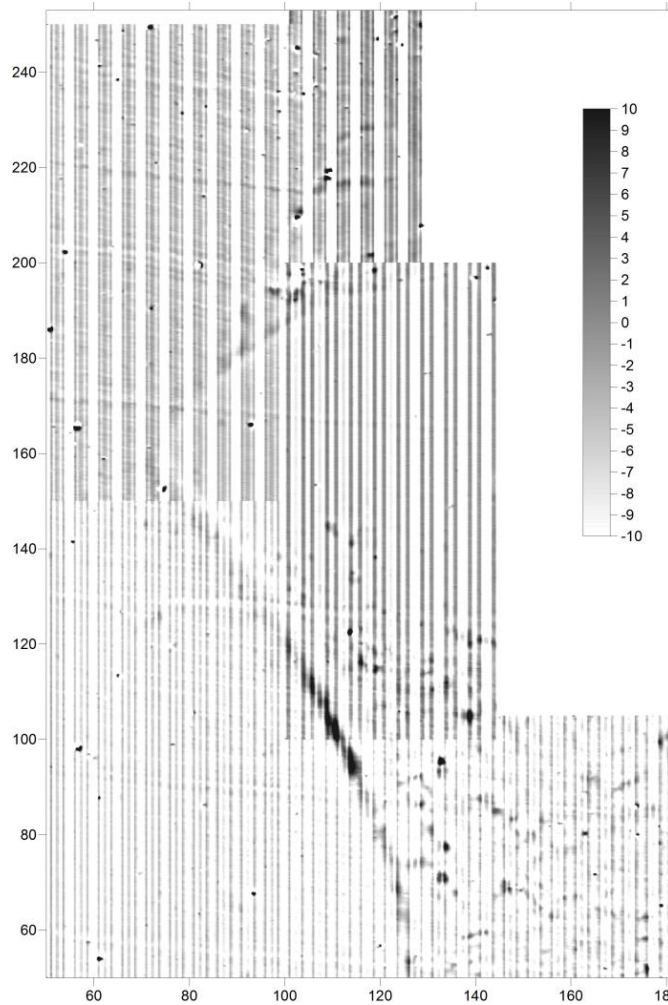
senzory: 0.25 m od seba, vzorkovanie pozdĺž meraných profilov: 0.1 m

## Meranie a základné spracovanie dát v magnetometrii:

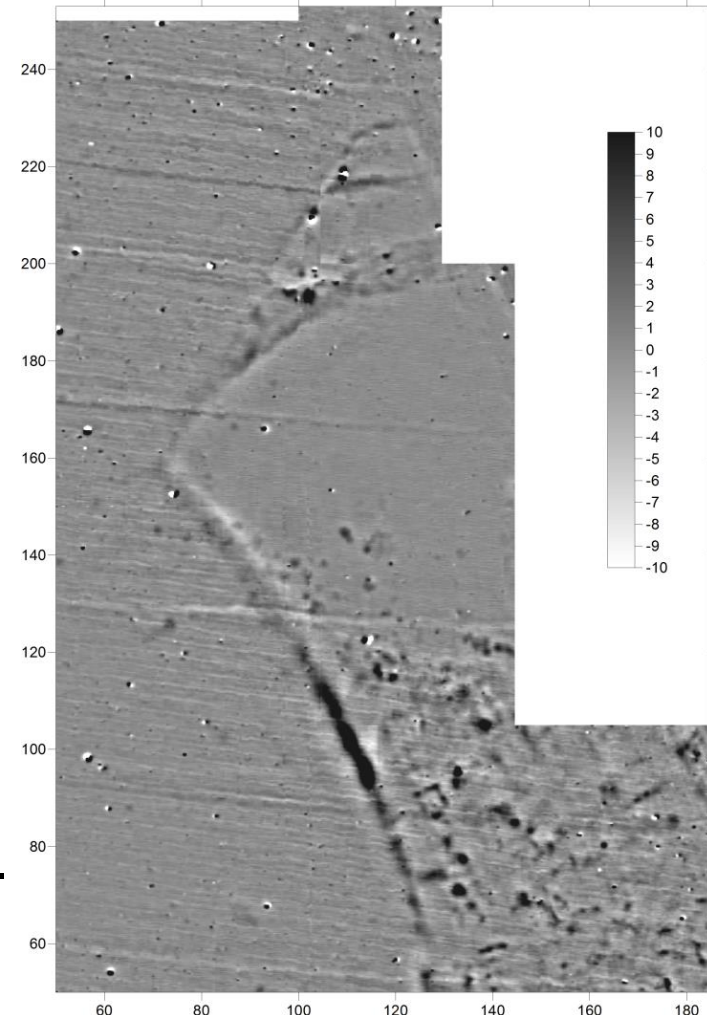
- príprava terénu (plánovanie profilov odpadá, meria sa vždy plošne)
- zber dát v teréne - samotné meranie s prístrojmi (min. 1 m medzi profilmami) (poloha väčšinou snímaná pomocou GPS)
- oprava o variácie geomagnetického poľa (netreba robiť pri gradientoch) (hodnoty z druhého magnetometra alebo pomocou filtrov)
- odpočítanie tzv. normálneho poľa: výpočet poľa  $\Delta T$  (netreba pri gradientoch) (štatistické metódy alebo globálne modely magn. poľa
  - napr. IGRF alebo WMM)
- zavedenie špeciálnych opráv na hodnotové posuny medzi senzormi (tzv. “heading error”) a iné deformácie zmeraného poľa
- interpolácia do máp poľa  $\Delta T$  a vizualizácia (farebné alebo ČB tieňované mapy – v archeológii nazývané ako magnetogramy)

pri spracovaní dát s viacerých paralelne nesených (tlačených) senzorov vzniká tzv. “heading error”, ktorý sa prejavuje “umelými pásikami”

pôvodné dáta



filtrované dáta



rieši sa pomocou  
tzv. mediánových  
filtrovi alebo  
postupom, ktorý  
sa nazýva ako tzv.  
mikroleveling.

## Interpretácia dát v magnetometrii:

tvary získaných anomálií - závisia od:

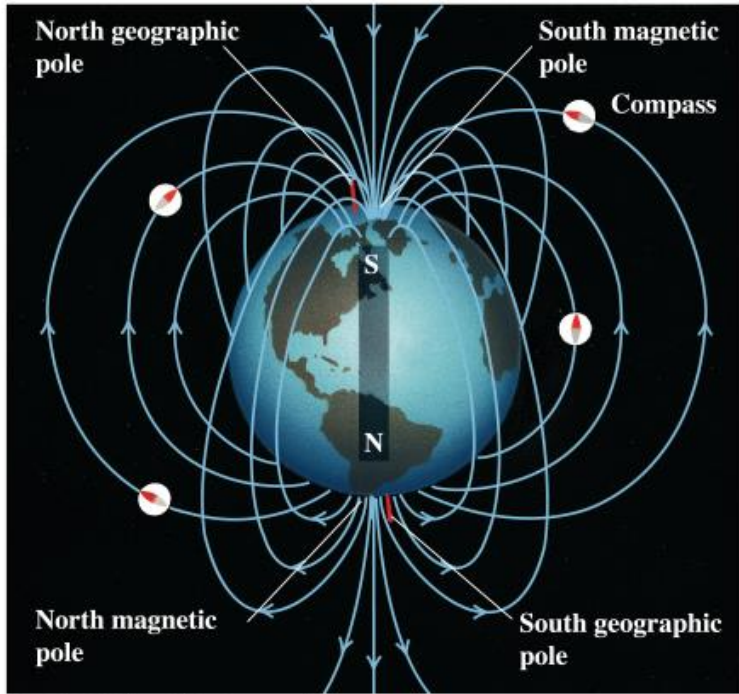
1. zemepisnej šírky (najmä pri indukovanej magn.),
2. magnetických vlastností objektu,
3. hĺbke uloženia a rozmerov objektu,
4. tvare objektu a orientácií jeho dlhšej osi,
5. pri zobrazovaní vo forme kriviek na profiloch – aj od orientácie daného profile.

Interpretácia sa delí na **kvalitatívnu** (polohy objektov a ich približné rozmery) a **kvantitatívnu** (hĺbka uloženia, susceptibilitia). Pri archeologických aplikáciách dominuje kvalitatívna interpr.

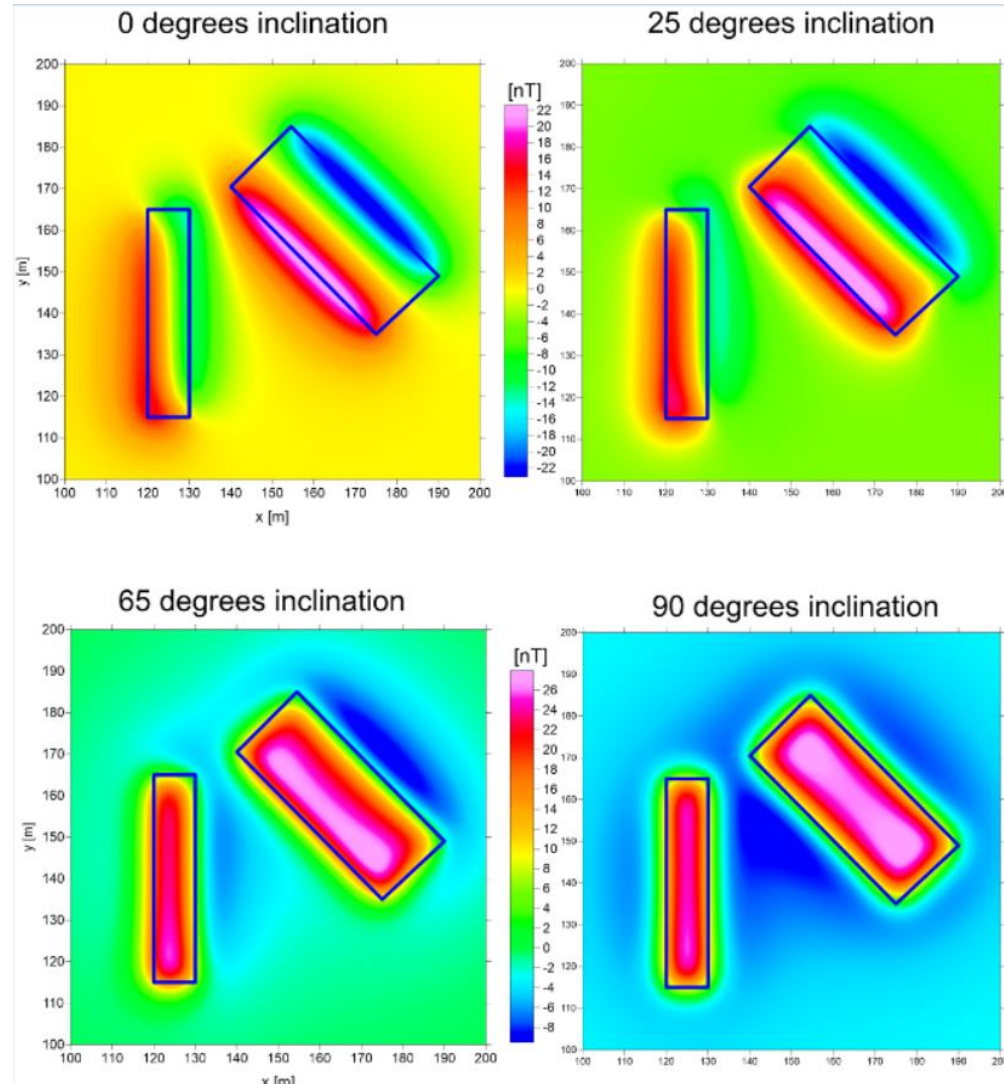
# Interpretácia dát v magnetometrii:

tvary získaných anomalií (závislosť od zemepisnej šírky)

pre rôzne zemepisné šírky  
platí iný uhol (inklinácia)  
indukujúceho magn. poľa

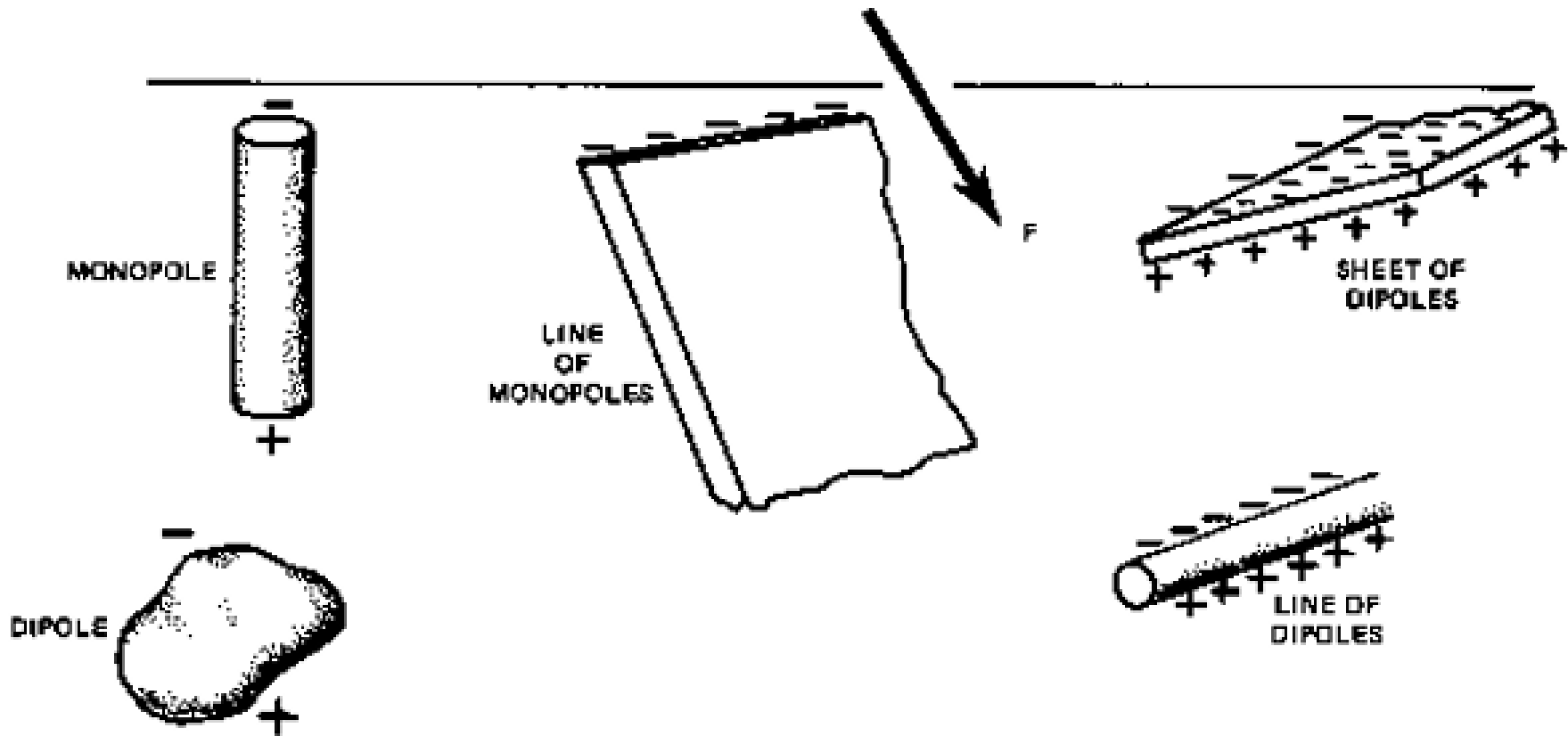


Copyright © Addison Wesley Longman, Inc.



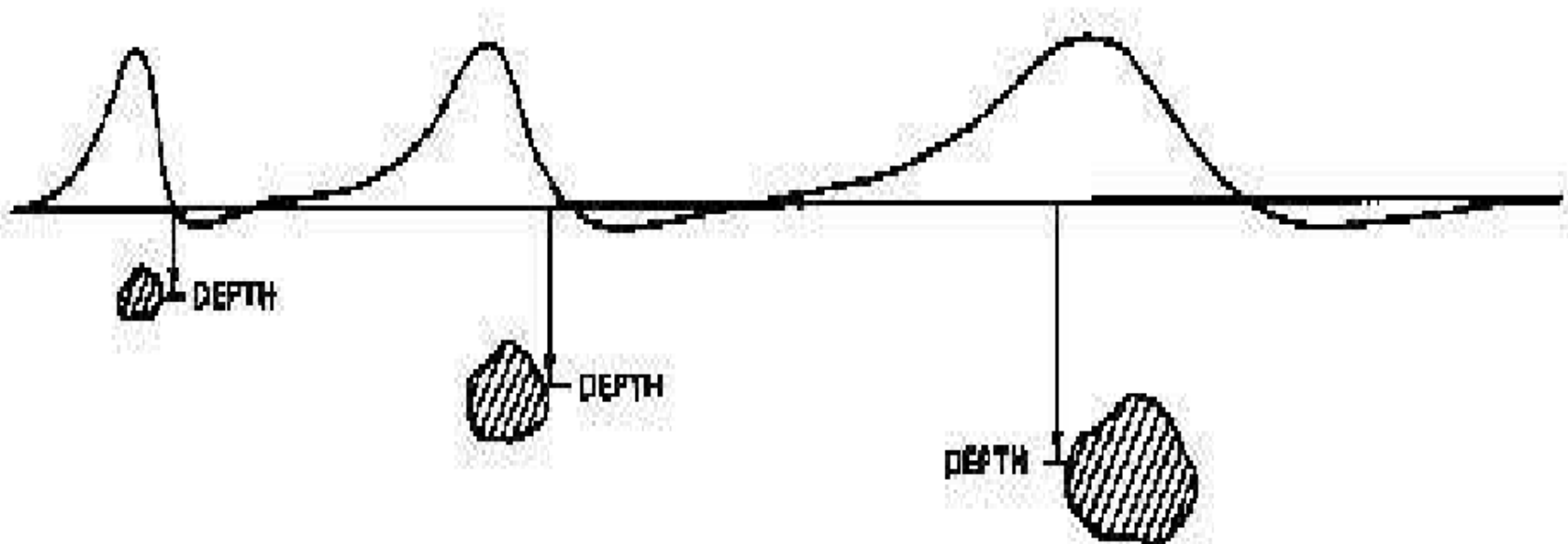
## Interpretácia dát v magnetometrii:

tvary získaných anomalií (tvar objektu)



## Interpretácia dát v magnetometrii:

tvary získaných anomalií (hĺbka uloženia)

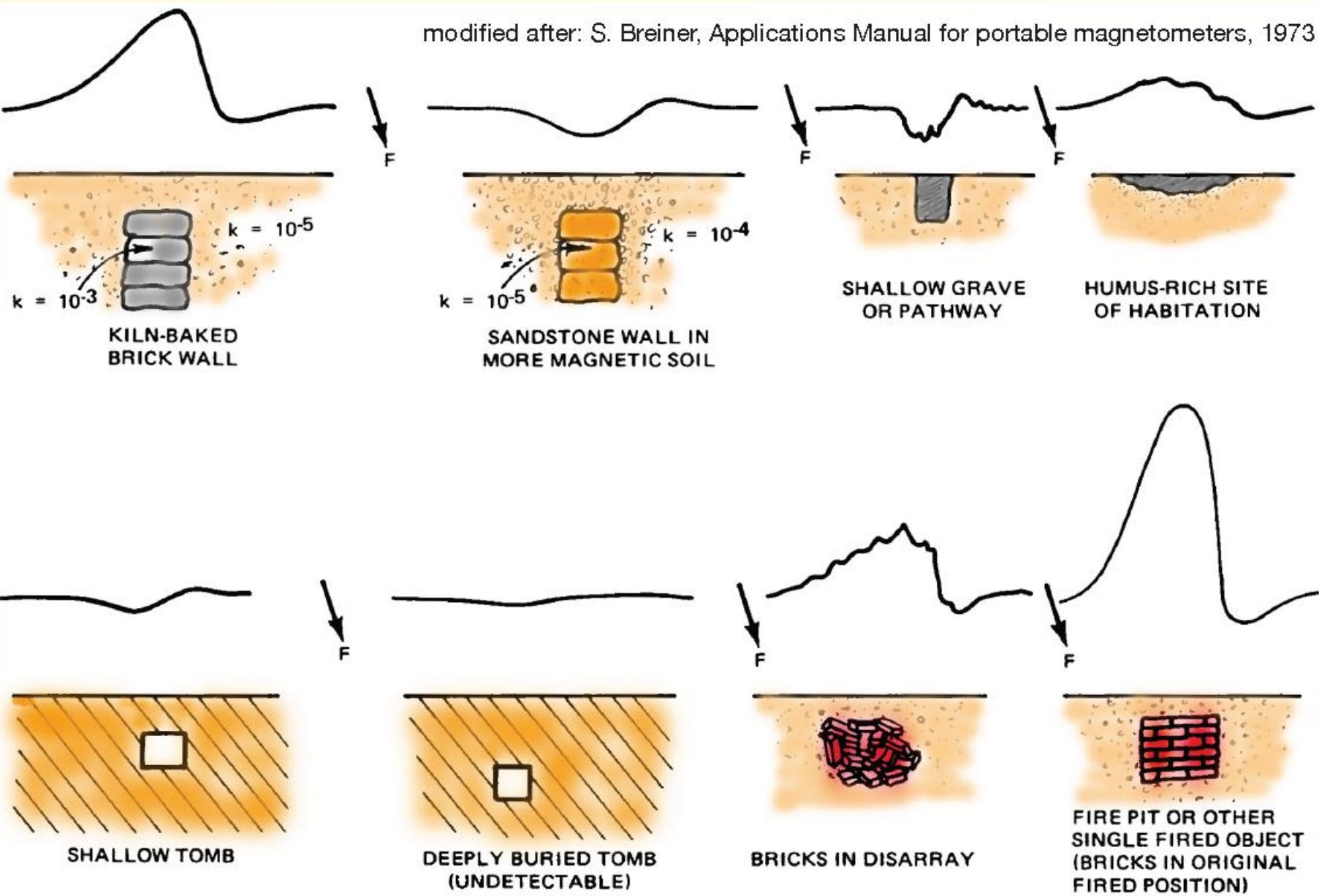


## hlavné oblasti použitia magnetometrie v archeológii:

- 1. vyhľadávanie železných objektov (výrazné dipólové anomálie) (vysoká susceptibilita železa + reman.)**
- 2. vyhľadávanie starých žiarovísk, pecí, ohníšk, atď.**  
**(dlhšie pôsobiaci oheň zmagnetizuje podložné horniny – dodá im tzv. remanentnú magnetizáciu - „vpáli do nich aktuálne pole“)**
- 3. detekcia bývalých priekop, jám, atď. – vyplnené objekty hlinou s vyšším obsahom humusu**  
**(vyššia susceptibilita hlín s prítomnosťou humusovej zložky) – sídliská, pohrebiská, rondely, hradiská (valy)**
- 4. detekcia zakrytých múrov (vhodnejšia sú geoel. metódy a radar)**  
**funguje, ak sú z magnetickejších hornín alebo vytvárajú vhodný kontrast k okolitým hlinám s vyšším obsahom humusových zložiek**

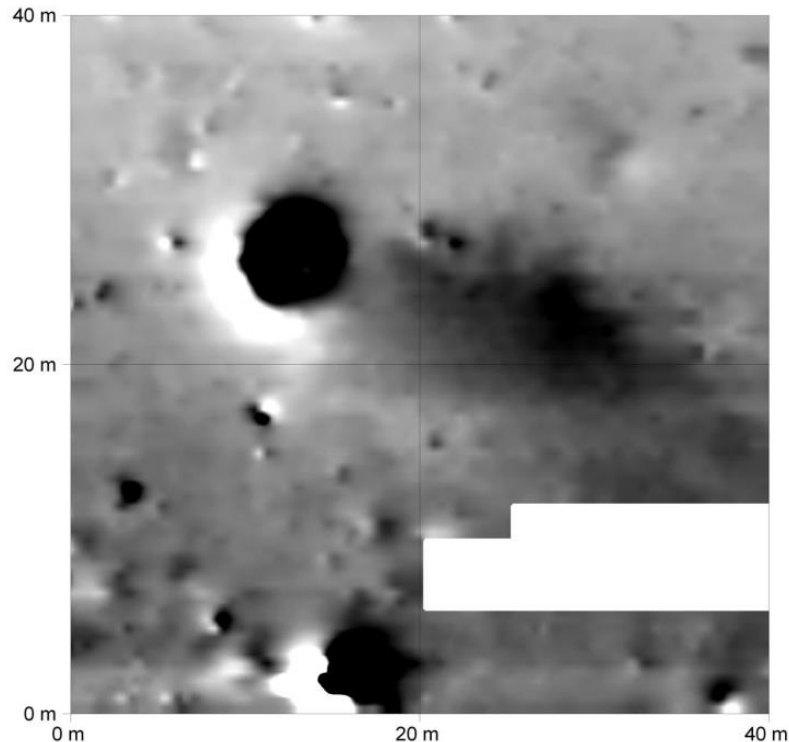
# rôzne objekty a ich prejavy v anomálnom magnetickom poli

modified after: S. Breiner, Applications Manual for portable magnetometers, 1973

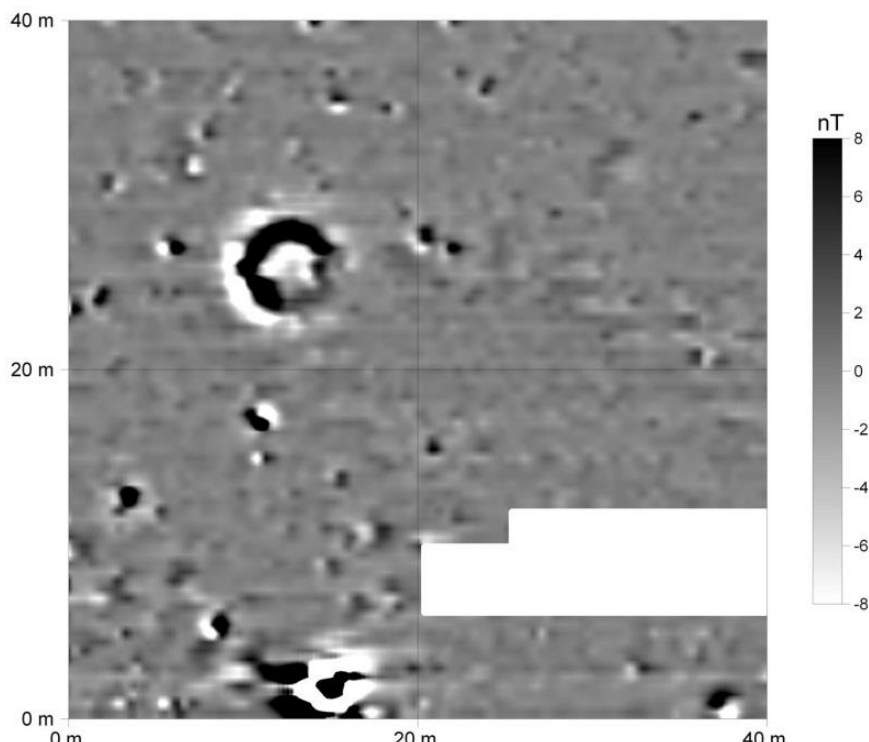


## *rôzne príklady:*

žiaroviská, pece



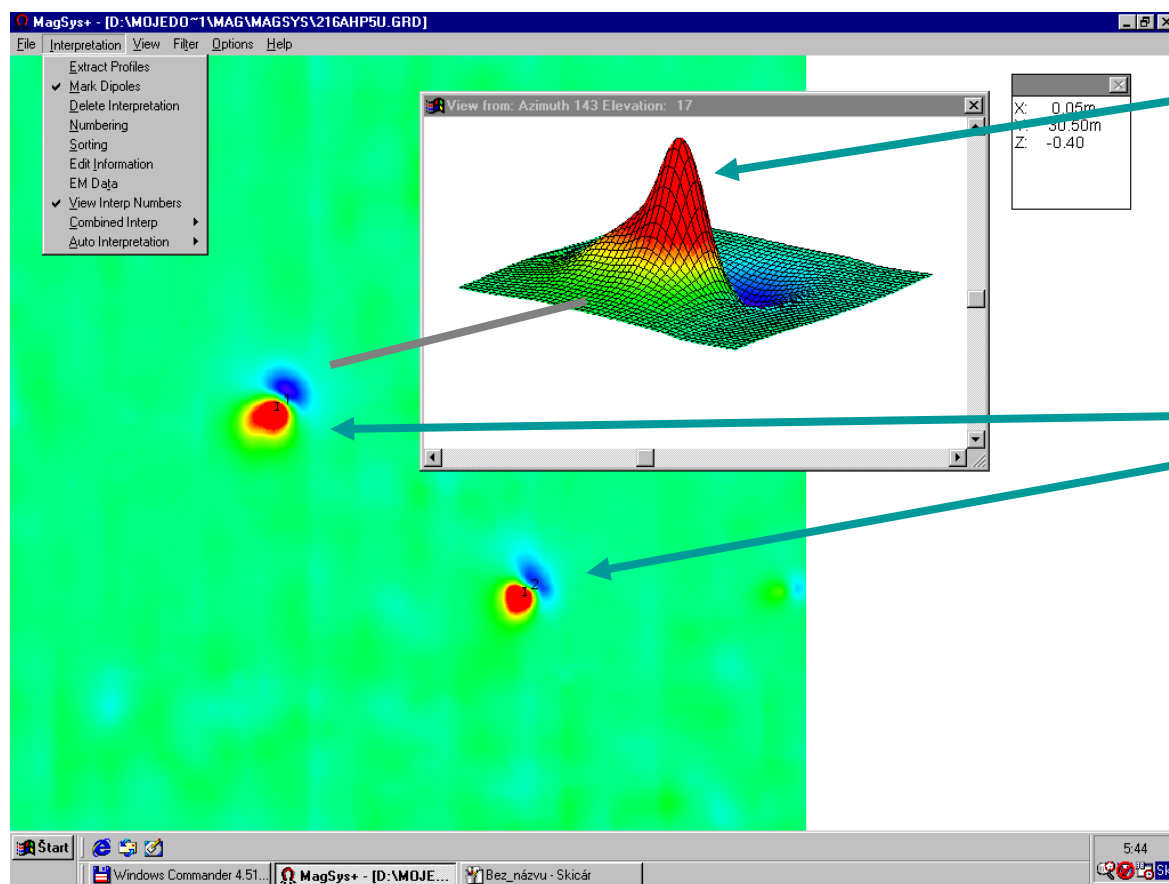
mapa magn. poľa



mapa vert. gradientu mag. poľa

# *rôzne príklady:*

železné predmety

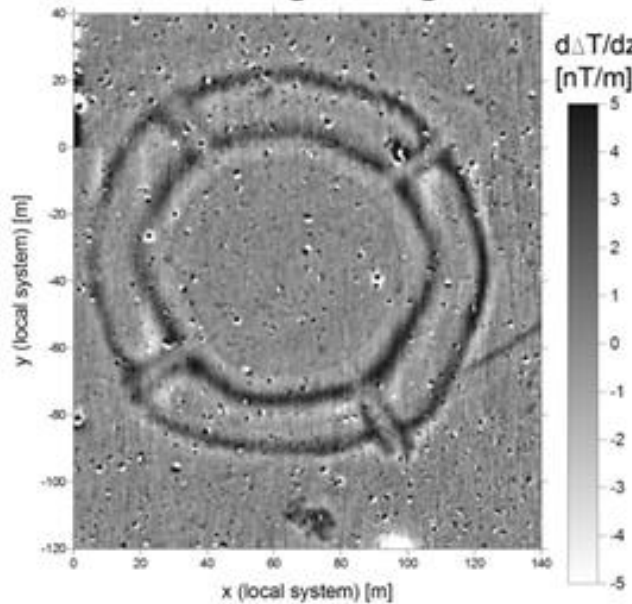


typický  
dipólový  
prejav

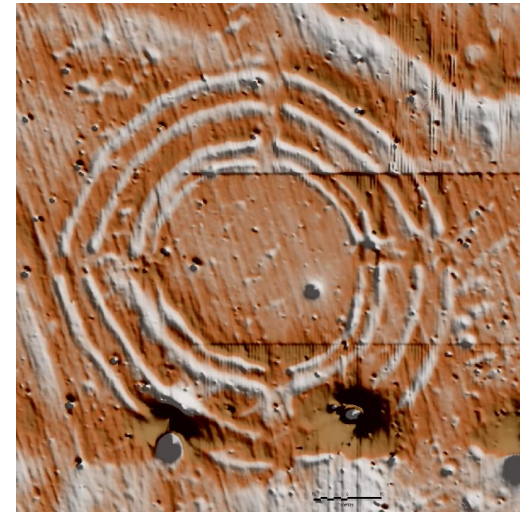
železné  
hroty šípov

# *rôzne príklady:*

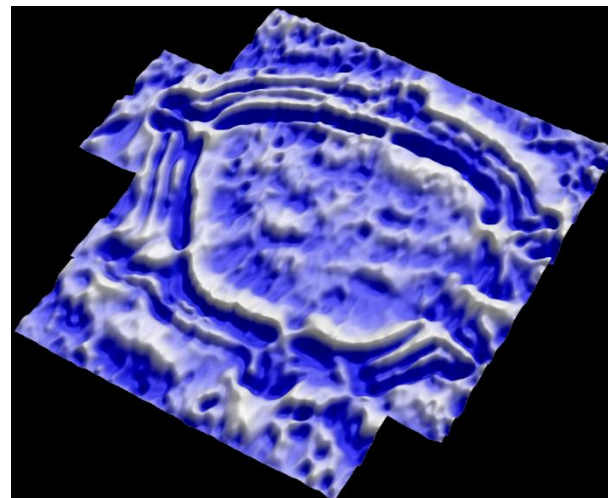
rondely



Milovice (ČR)



Cífer (SK)



Golianovo (SK)

# *rôzne príklady:*

sídliská

letecká snímka



ranno-stredoveké sídlisko, ostrov Witsum (severné memecko) (priekopy, zemlianky, domy)

# využitie magnetometrie

pithouses (zemlianky)

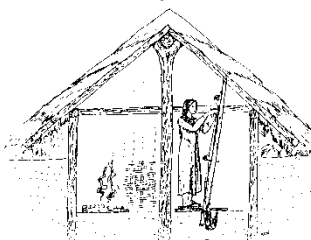
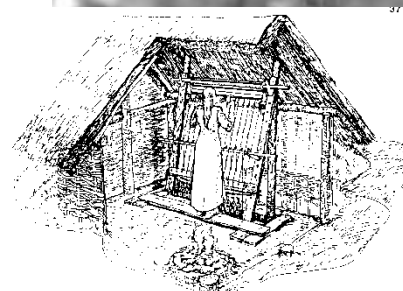
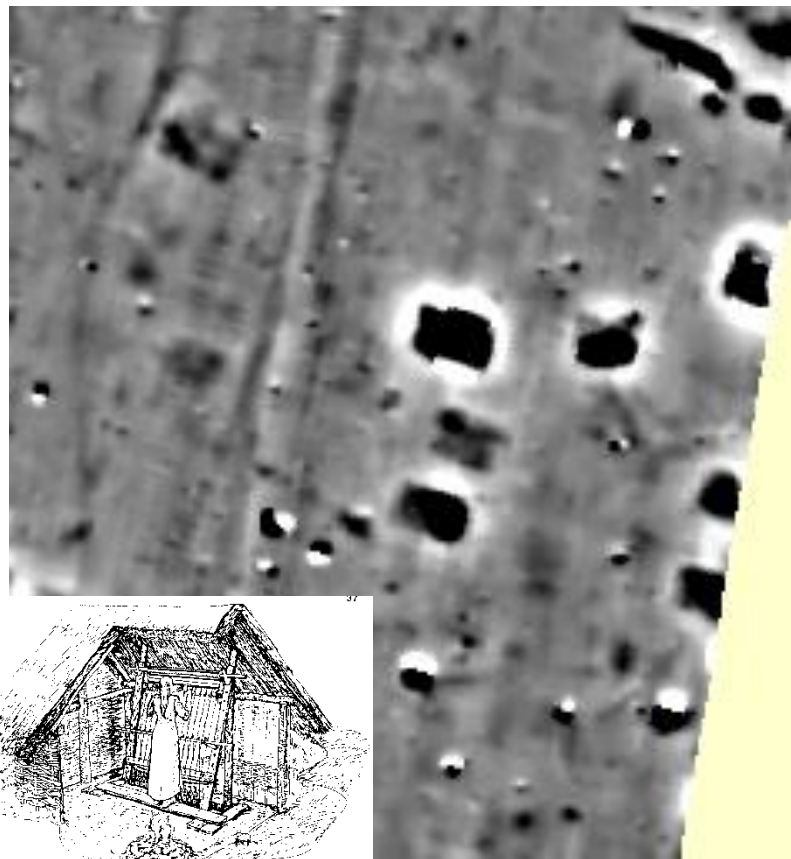
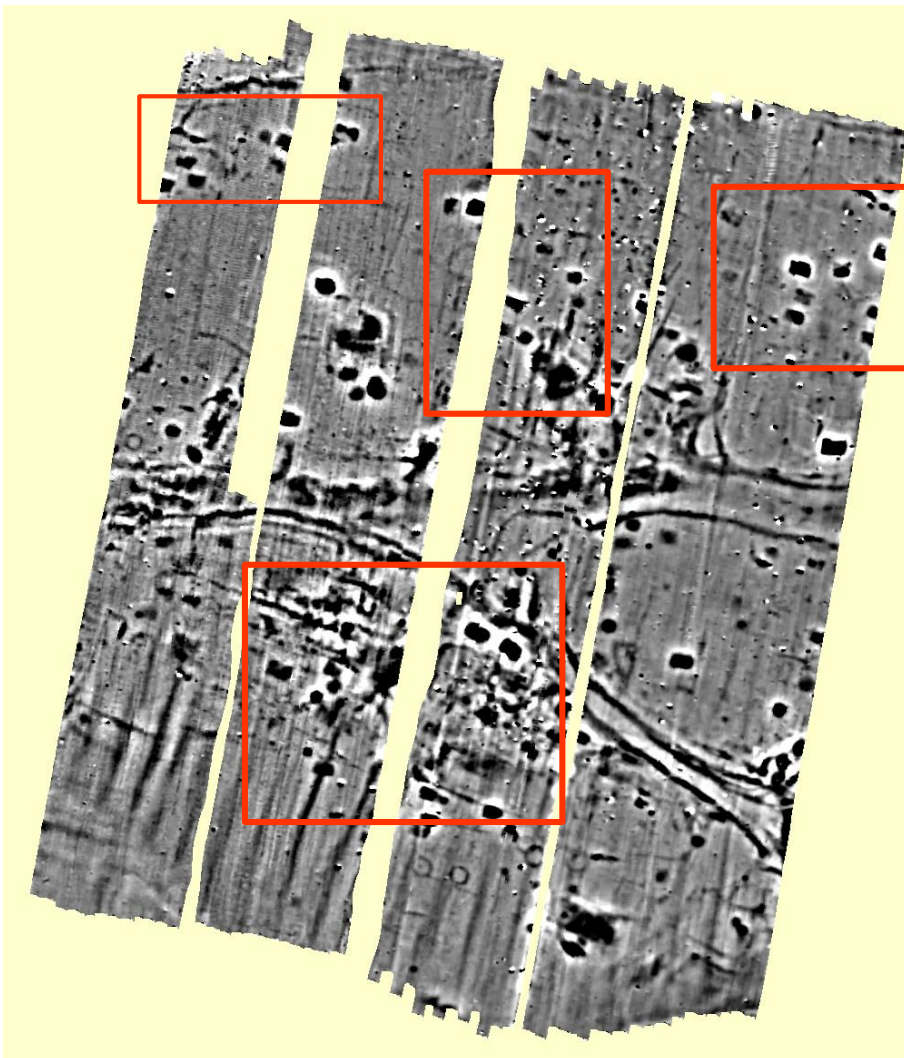
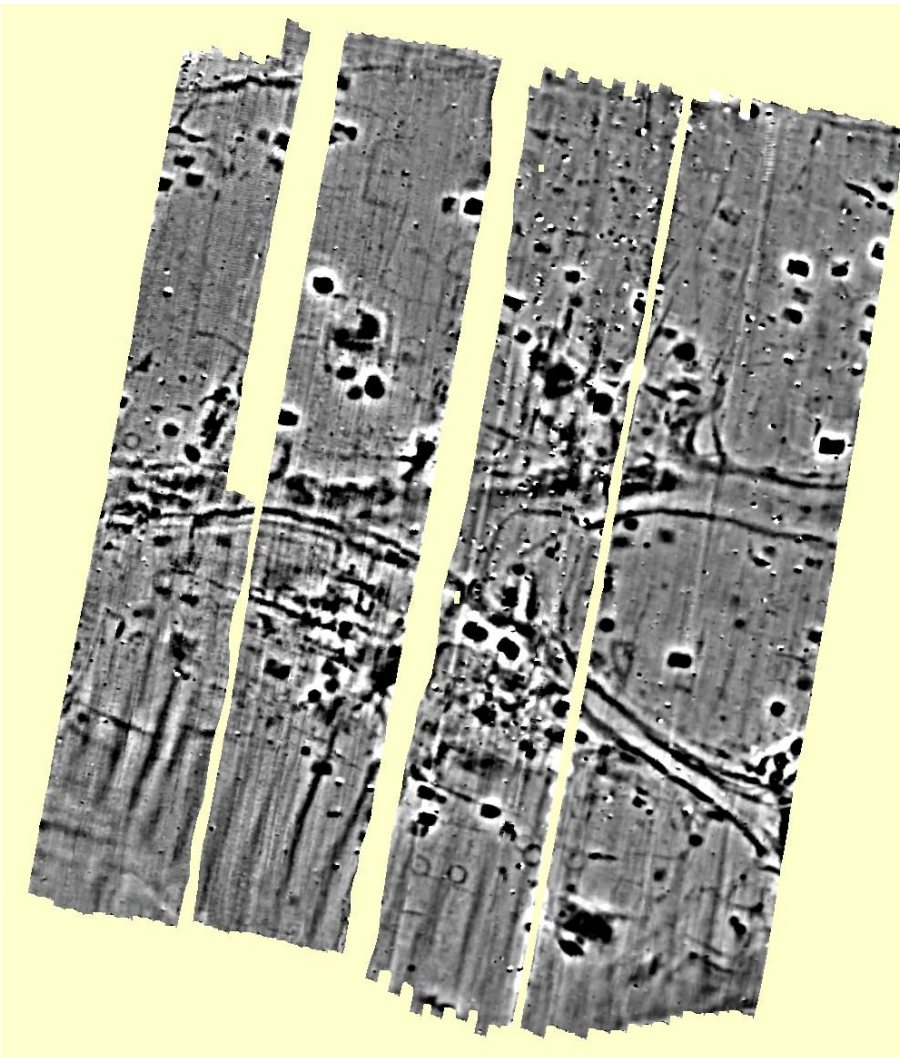


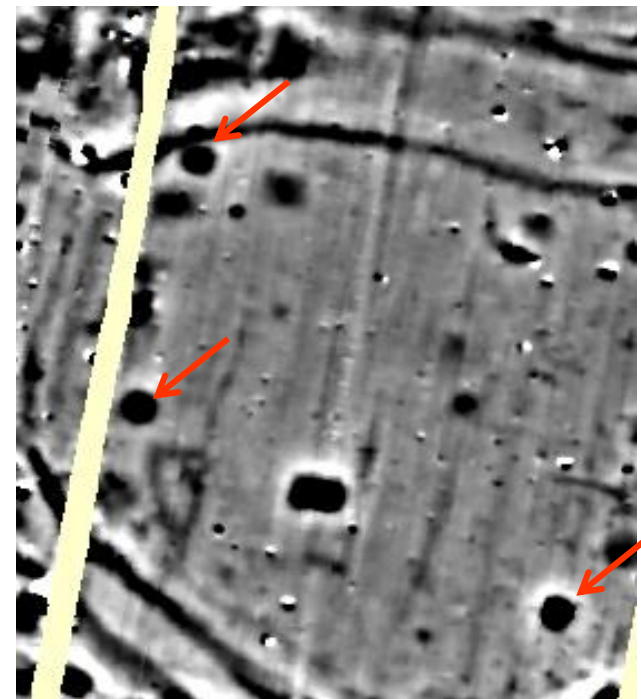
Abb. 5  
Wittorf, Stadt Vischhövede, Ep. 78  
Rekonstruktionsversuch des Grubenhauses 2  
mit Weisung der jungenen Nutzungsphase.

ranno-stredoveké sídlisko, ostrov Witsum (severné memecko) (priekopy, zemlianky, domy)

## využitie magnetometrie

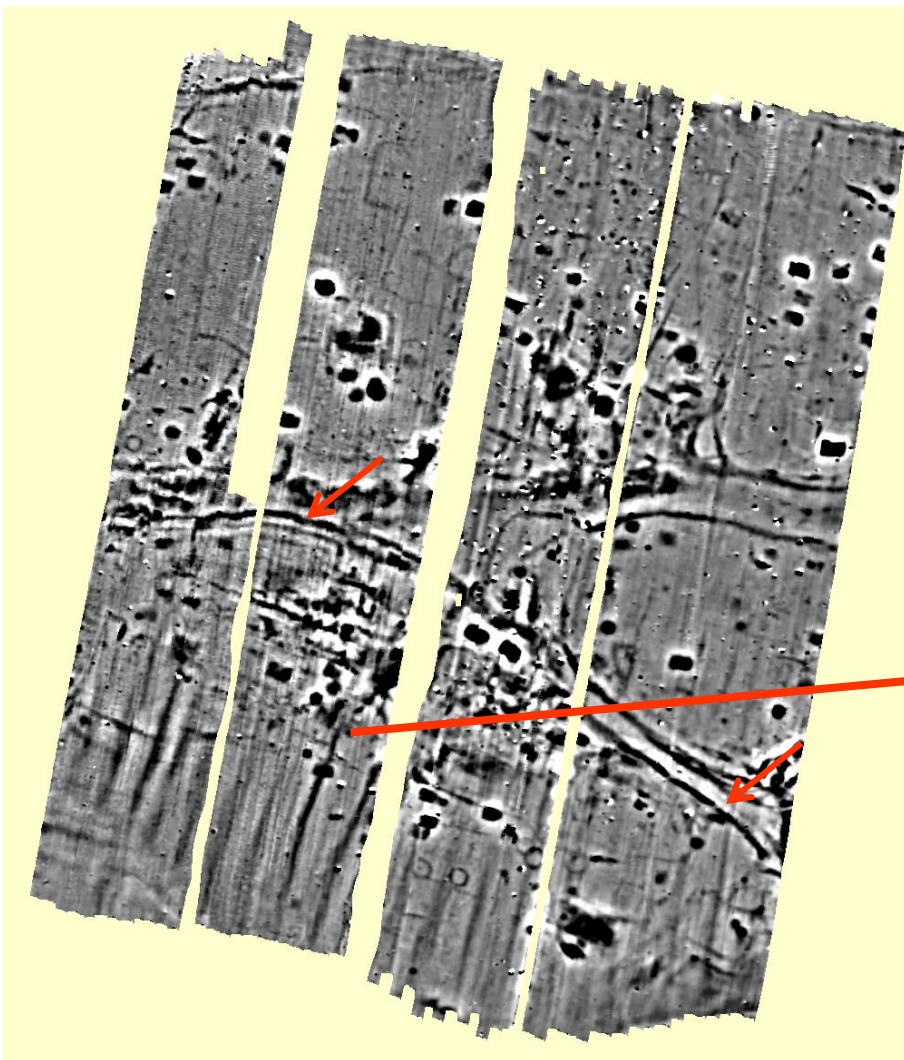


wells (studne)?

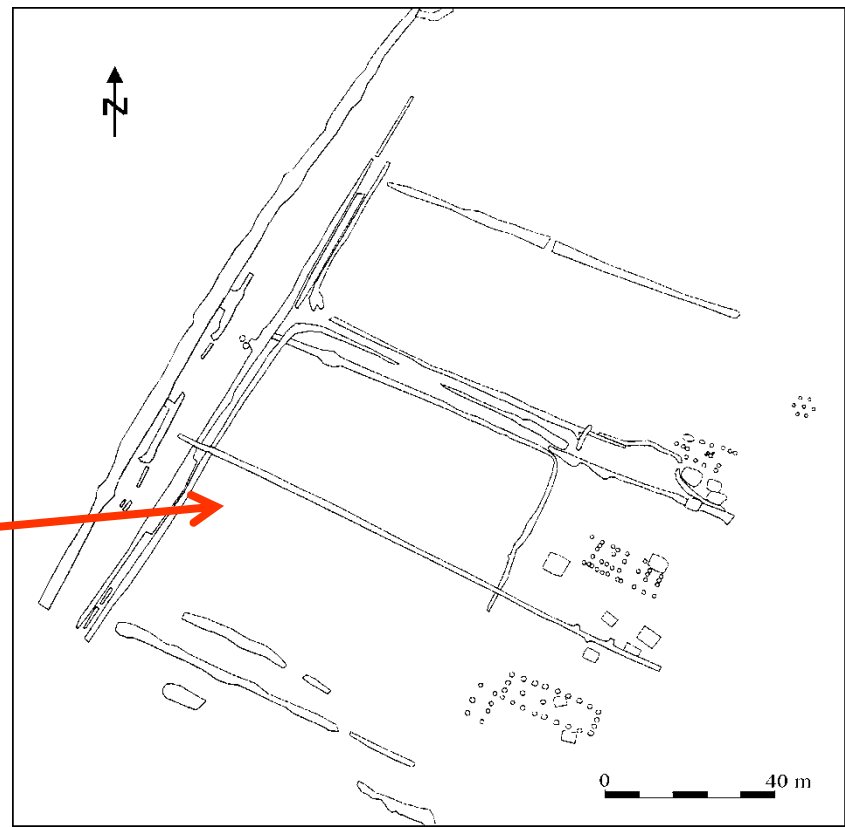


ranno-stredoveké sídlisko, ostrov Witsum (severné memecko) (priekopy, zemlianky, domy)

## využitie magnetometrie



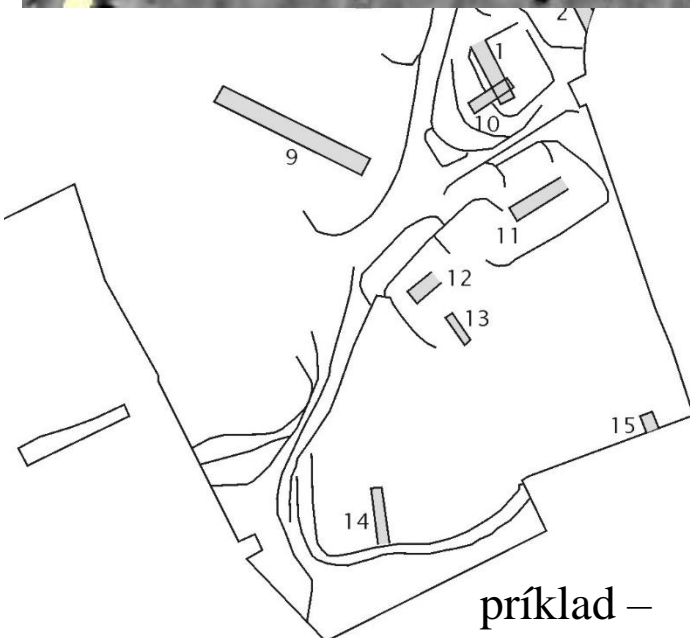
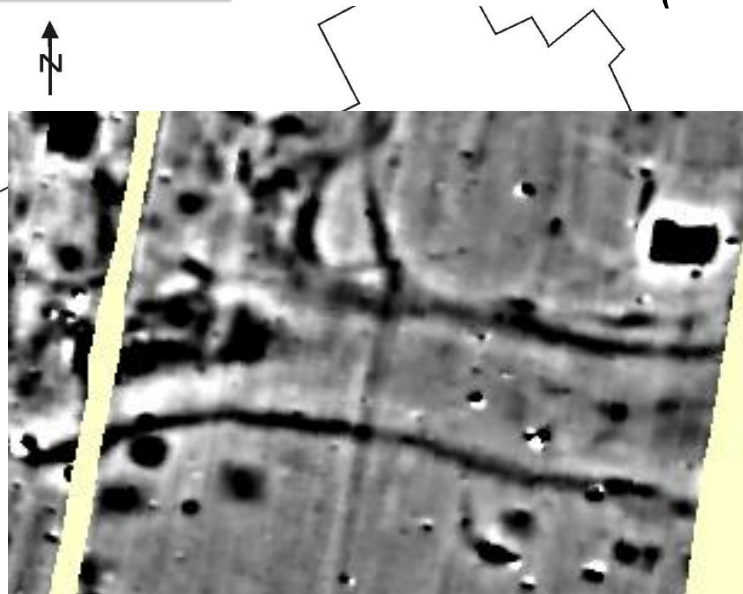
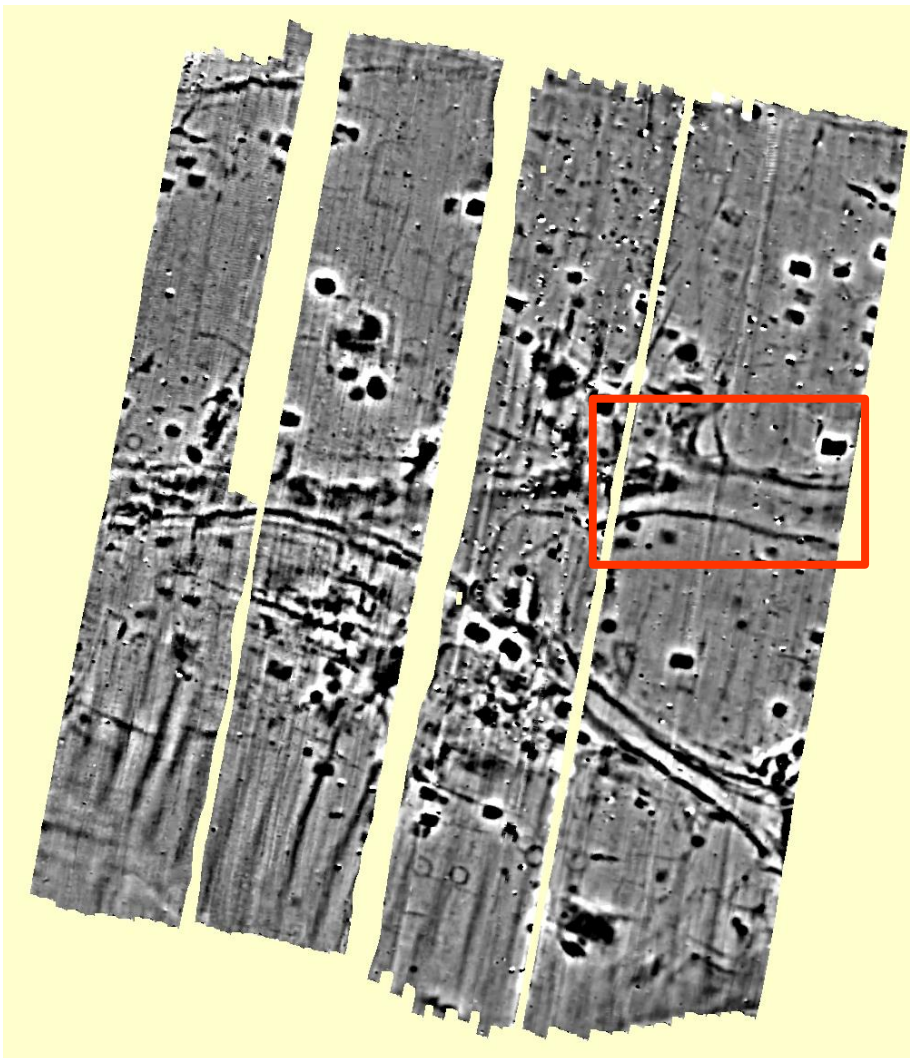
ditches (priekopy)  
boundaries of fields ?(hranice polí?)



príklad: sídlisko Oelde

ranno-stredoveké sídlisko, ostrov Witsum (severné memecko) (priekopy, zemlianky, domy)

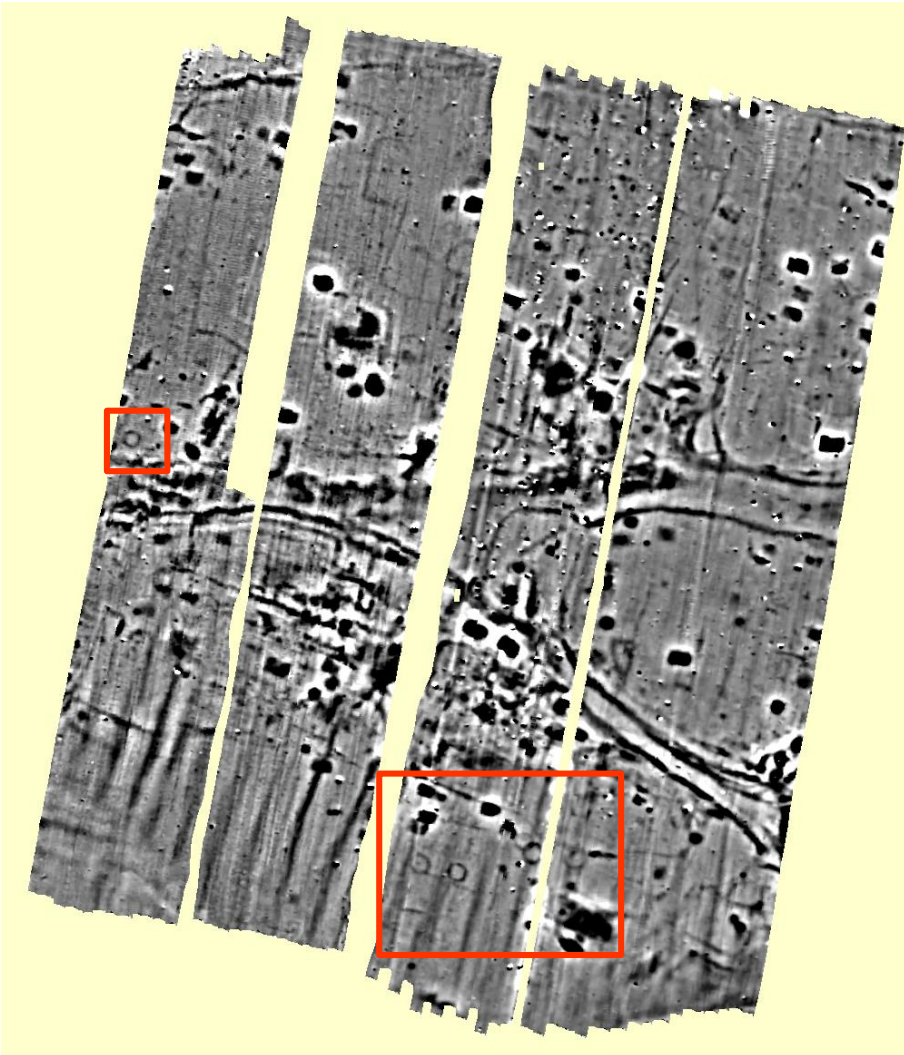
## využitie magnetometrie



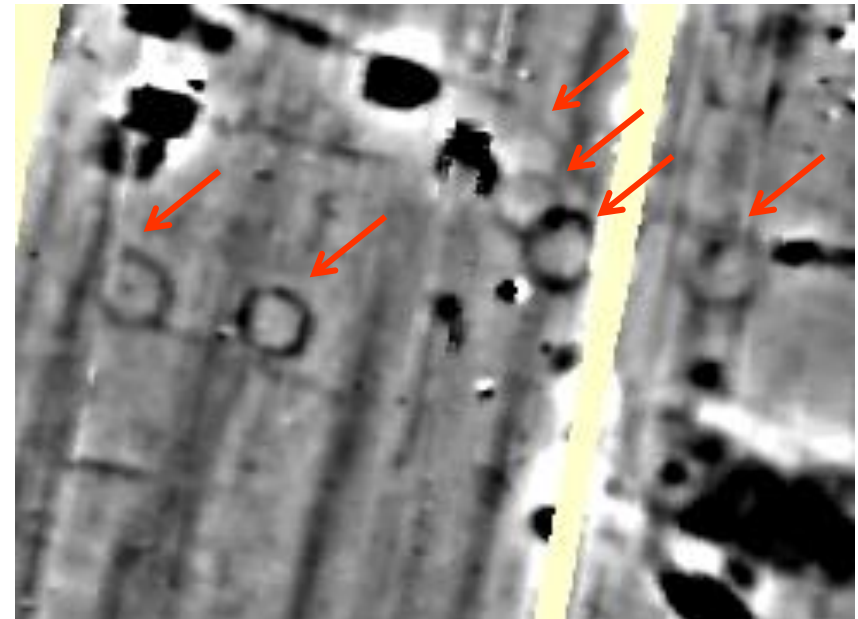
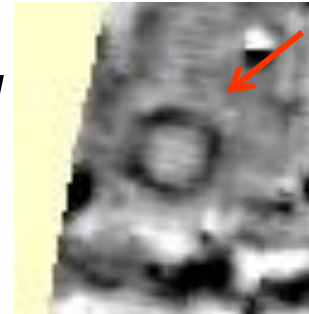
príklad –  
Sídlisko Den Burg

ranno-stredoveké sídlisko, ostrov Witsum (severné memecko) (priekopy, zemlianky, domy)

## využitie magnetometrie

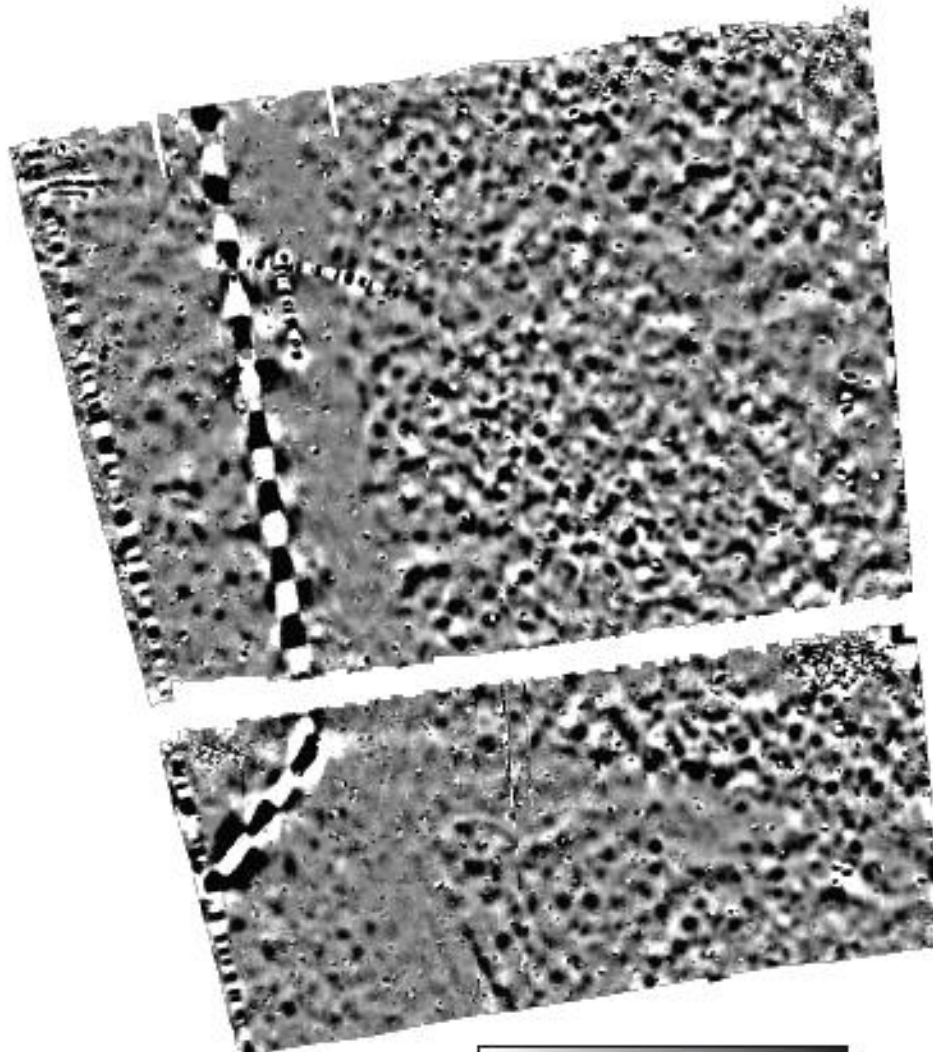
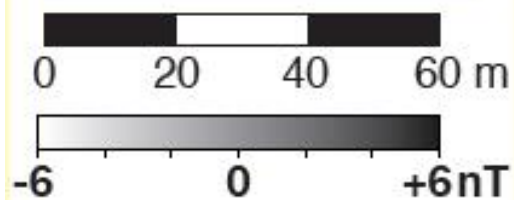


*graves, small  
mounds?  
(hroby, malé  
mohyly?)*



ranno-stredoveké sídlisko, ostrov Witsum (severné memecko) (priekopy, zemlianky, domy)

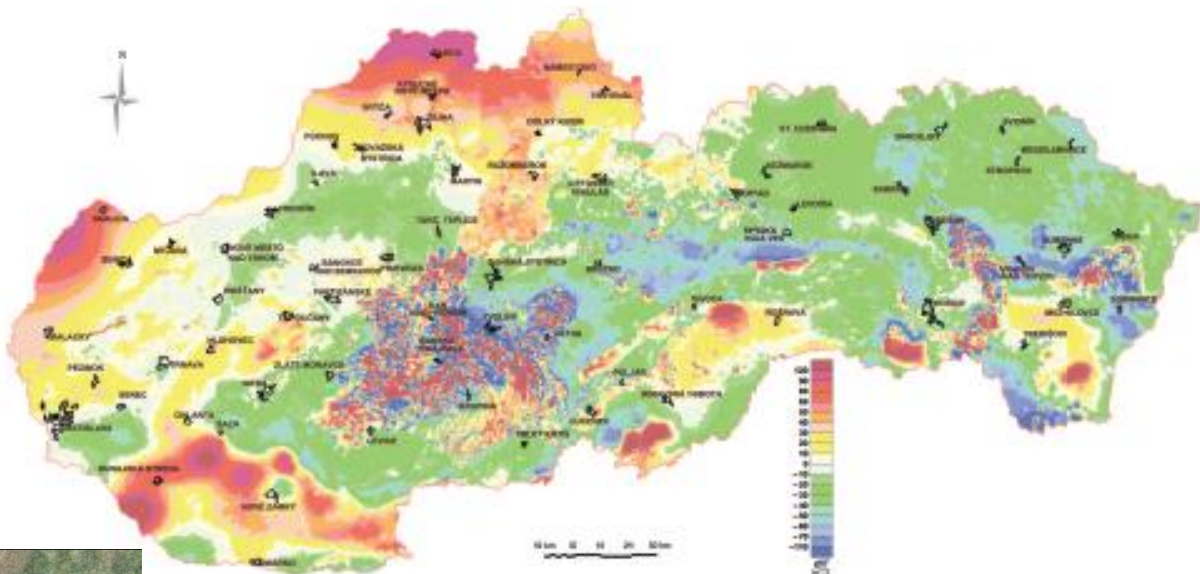
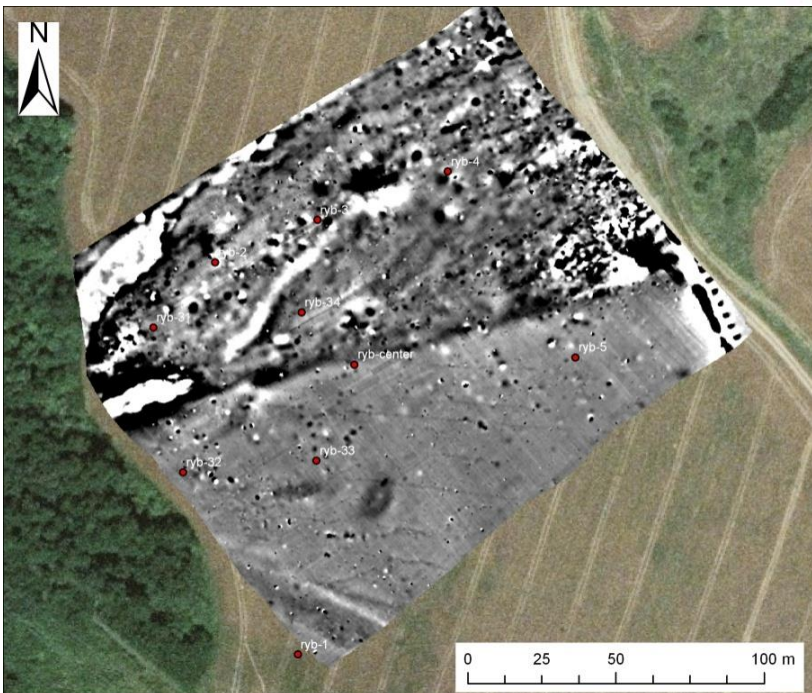
## falošné anomálie (ocel'ové potrubia)



sekvencia po sebe idúcich dipólových anomálií

# falošné anomálie (vplyv geologického podložia)

lokalita Rybník  
(stredné Slovensko)



problém s vulkanickými horninami (sú často magnetické),

(Štiavnické vrchy, Kremnické vrchy, Poľana, Javorie, Vtáčnik, Pohronský Inovec, Krupinská planina, Slanské vrchy, Vihorlat)